

# Problemas de contorno: Series de Fourier y aproximación numérica de soluciones.

[Capítulo 5 - Libro](#) + [Hoja de problemas 8](#) + [Complementos](#)

Resumen de contenidos:

- Resoluciones explícitas (si se puede)
- Desarrollos en serie de Fourier
- Aproximación de soluciones: métodos de Galerkin y de elementos finitos

% Los dos apartados de este cuaderno, relativos a series de Fourier y aproximación de soluciones, se complementan con los cuadernos 9 y 10 respectivamente.

## Primera parte: Problemas de contorno/series de Fourier

% **Problemas de contorno:** verificamos el teorema de la alternativa de Fredholm, para un modelo de viga de segundo orden, sujeta en los extremos:  $Ely''+Ty=p(x)$ ,  $x$  en  $(0,l)$ ,  $y(0)=0$ ,  $y(l)=0$ .

% Tomando  $l=1$ ,  $T/EI=\pi^2$ :

```
>> syms t  
>> dsolve('D2y+pi^2*y=0')
```

ans =

$C1\sin(\pi*t)+C2\cos(\pi*t)$

% las constantes de integración C1 y C2 se determinan, si es posible, con las condiciones de contorno

```
>> dsolve('D2y+pi^2*y=0','y(0)=0','y(1)=0')
```

ans =

$C1\sin(\pi*t)$

*% Así pues, obtenemos soluciones distintas de la trivial; de alguna manera esto implica que no se puede predecir el comportamiento de la viga: en términos matemáticos, no existe solución única de cualquier problema de contorno no homogéneo asociado, tal y como se ve a continuación, introduciendo distintos datos no homogéneos (  $p(t)=\exp(t)$  o  $p(t)=\sin(2*\pi*t)$ , y  $EI=1$  )*

```
>> dsolve('D2y+pi^2*y=exp(t)', 'y(0)=0', 'y(1)=0')
```

Warning: Explicit solution could not be found.

> In <a href="matlab: opentoline('C:\Program Files  
(x86)\MATLAB\R2008a\toolbox\symbolic\dsolve.m',333,1)">dsolve at 333</a>

ans =

[ empty sym ]

*% no existe solución para  $p=\exp(t)$*

```
>> dsolve('D2y+pi^2*y=sin(2*pi*t)', 'y(0)=0', 'y(1)=0')
```

ans =

$\sin(\pi t) C_2 - \frac{1}{3} \sin(2\pi t) / \pi^2$

```
>> pretty(ans)
```

$$\frac{\sin(2\pi t)}{\pi^2} C_2 - \frac{1}{3} \sin(\pi t)$$

*% para  $p(t)=\sin(2*\pi*t)$  hay infinitas soluciones, una para cada valor de  $C_2$ . Así, por ejemplo, para  $T/EI=\pi^2$ : la solución no se puede aproximar numéricamente. Esto se comprueba en la última parte de este cuaderno. Para otras relaciones entre  $T$  y  $EI$  tales que  $T/EI$  distinto de  $\pi^2$ , existe una única solución del problema homogéneo (la trivial), y de todos los problemas no homogéneos asociados que se consideren. Tomamos  $T=EI=1$*

```
>> dsolve('D2y+y=0', 'y(0)=0', 'y(1)=0')
```

ans =

0

```
>> dsolve('D2y+y=sin(2*pi*t)', 'y(0)=0', 'y(1)=0')
```

ans =

$$-\sin(2\pi t)/(-1+4\pi^2)$$

```
>> dsolve('D2y+y=exp(t)', 'y(0)=0', 'y(1)=0')
```

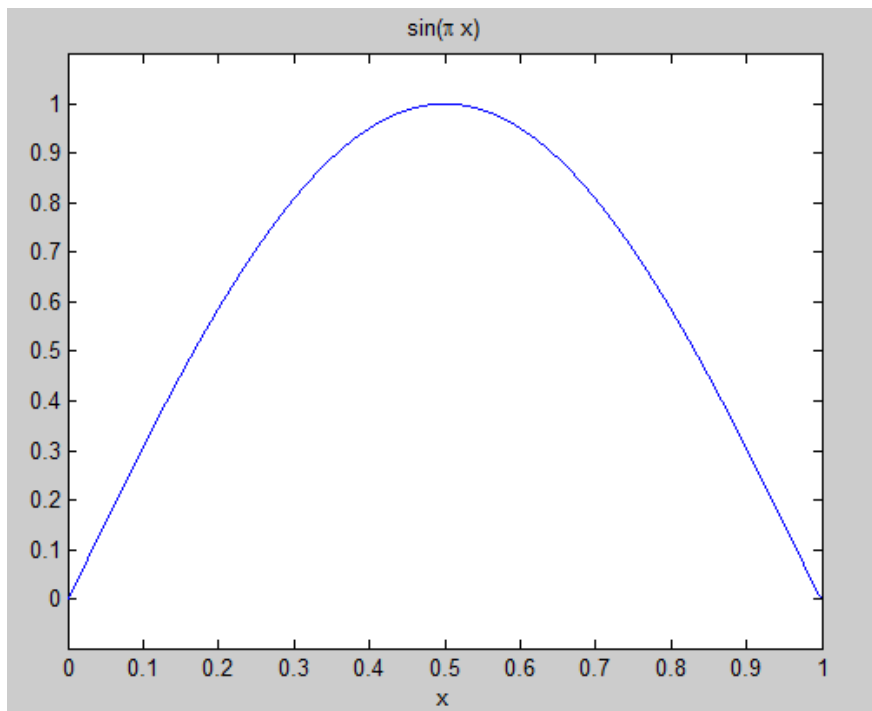
ans =

$$-1/2\sin(t)(-\cos(1)+\exp(1))/\sin(1)-1/2\cos(t)+1/2\exp(t)$$

% La razón de esto es que las llamadas “cargas de pandeo” en el modelo: El  $y''+Ty=0$ ,  $y(0)=0$ ,  $y(1)=0$ , están dadas por  $T/EI=(k\pi)^2$ , para  $k=1,2,3,\dots$ . “los valores propios”. Así para la relación  $T/EI=\pi^2$ , se tiene la llamada “carga crítica de pandeo”, y la forma “en que se deforma la viga”, para  $p(x)=0$ , está dada por la gráfica de la función  $\sin(\pi x)$  (salvo constante multiplicativa):

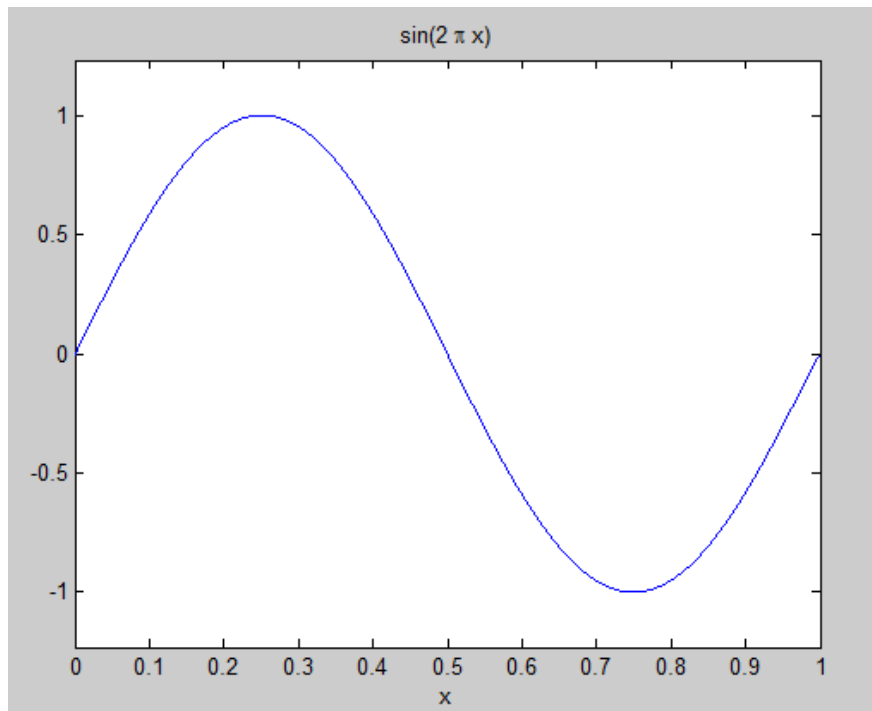
```
>> syms x
```

```
>> ezplot(sin(pi*x),[0,1])
```

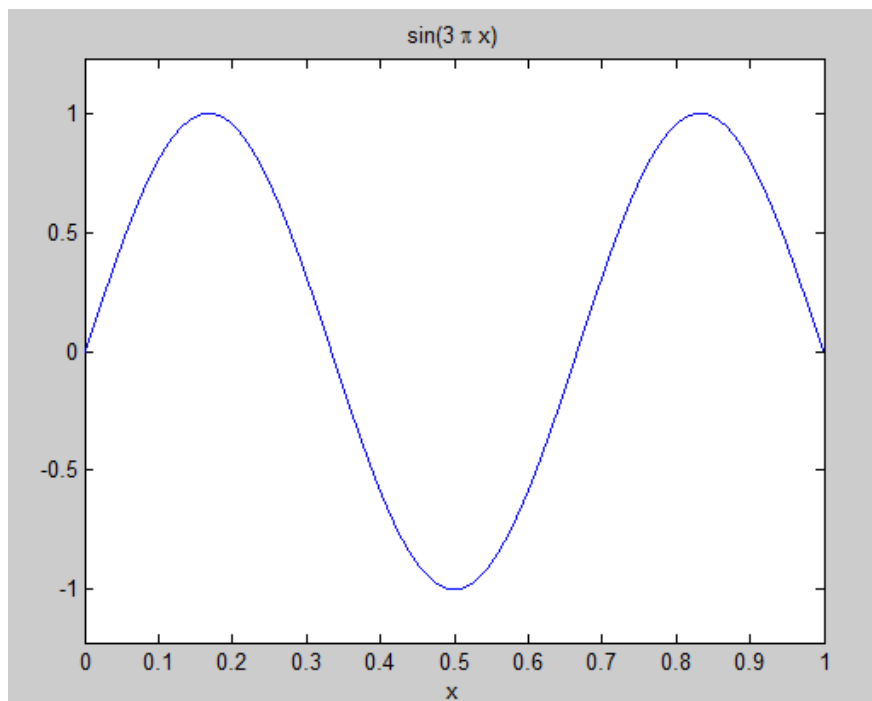


% De manera análoga para los valores de  $T/EI=4\pi^2$  y  $9\pi^2$  se tienen las gráficas de la solución de  $Ey''+Ty=0$ ,  $y(0)=0$ ,  $y(1)=0$  (salvo constante multiplicativa):

```
>> ezplot(sin(2*pi*x),[0,1])
```



```
>> ezplot(sin(3*pi*x),[0,1])
```



% Por otro lado, para cada valor propio  $k^2\pi^2$ , hay una función propia asociada,  $y_k=\sin(k\pi x)$ ; comprobamos que funciones propias asociadas a distintos valores propios son ortogonales entre sí en  $(0,1)$ :

```
>> int(sin(k*pi*t)*sin(j*pi*t),0,1)
```

??? Undefined function or variable 'k'

% obviamente, da error, dado que hay que definir las variables simbólicas k y j para la integración

```
>> syms k j
```

```
>> int(sin(k*pi*t)*sin(j*pi*t),0,1)
```

ans =

$$-(-k \cos(k \pi) \sin(j \pi) + j \sin(k \pi) \cos(j \pi)) / \pi / (-k^2 + j^2)$$

```
>> pretty(ans)
```

$$-\frac{-k \cos(k \pi) \sin(j \pi) + j \sin(k \pi) \cos(j \pi)}{\pi (-k^2 + j^2)}$$

% si k es distinto de j la integral calculada vale 0, y para k=j, se tiene

```
>> int((sin(k*pi*t))^2,0,1)
```

ans =

$$1/2 * (-\cos(k \pi) \sin(k \pi) + k \pi) / k \pi$$

```
>> pretty(ans)
```

$$\frac{-\cos(k \pi) \sin(k \pi) + k \pi}{k \pi}$$

% Desarrollos en serie de Fourier: Cualquier función  $f(x)$  continua a trozos en  $[0,1]$  se escribe en términos de las funciones propias calculadas  $\sin(k\pi x)$ , como una suma  $\sum_{k=1}^{\infty} c_k \sin(k\pi x)$  donde las constantes  $c_k$  son los coeficientes de Fourier:  $c_k = \int(f(x) * \sin(k\pi x), 0, 1) / \int(\sin(k\pi x))^2, 0, 1$ . La función Matlab `seriefourier.m` lee  $n$ , dibuja las sumas parciales  $n$ -ésimas de la serie de Fourier y compara la gráfica con la de la función  $f(x)$  ( $f(x)=x$ ), permitiéndonos analizar el tipo de convergencia que se tiene al variar la función  $f$

**>> type seriefourier**

**>> help seriefourier % nos da información sobre la función**

```
OCW Universidad de Cantabria
Cálculo Simbólico y Numérico en Ecuaciones Diferenciales
%
La funcion seriefourier.m lee n el numero de funciones propias para
aproximar una funcion dada f(x);
calcula los coeficientes de Fourier c_j de la función f que definimos
dentro de la función, y la aproximacion de la solucion:
u=sum_{j=1}^n (c_j*sin(j*pi*t))

sin(k*pi*x), k=1,2,3...son las funciones propias
del problema de valores propios
y''+\lambda y=0, x en (0,1), y(0)=0,y(1)=0.
%
```

*% ejecutamos el fichero, "el programa", para distintos valores de n*

**>> seriefourier(1)**

f =

t

aproximacion =

.6366\*sin(3.142\*t)

*% vemos que el primer término de la serie nos da una aproximación muy mala de f=x;  
las aproximaciones, con dos o tres términos de la serie, siguen siendo malas como se  
observa en la gráfica obtenida con las instrucciones "hold on" y "gtext('comentario')"*

**>> hold on**

**>> seriefourier(2)**

f =

t

aproximacion =

.6366\*sin(3.142\*t)-.3183\*sin(6.284\*t)

>> **seriefourier(3)**

f =

t

aproximacion =

$$.6366 \sin(3.142t) - .3183 \sin(6.284t) + .2122 \sin(9.426t)$$

>> **seriefourier(4)**

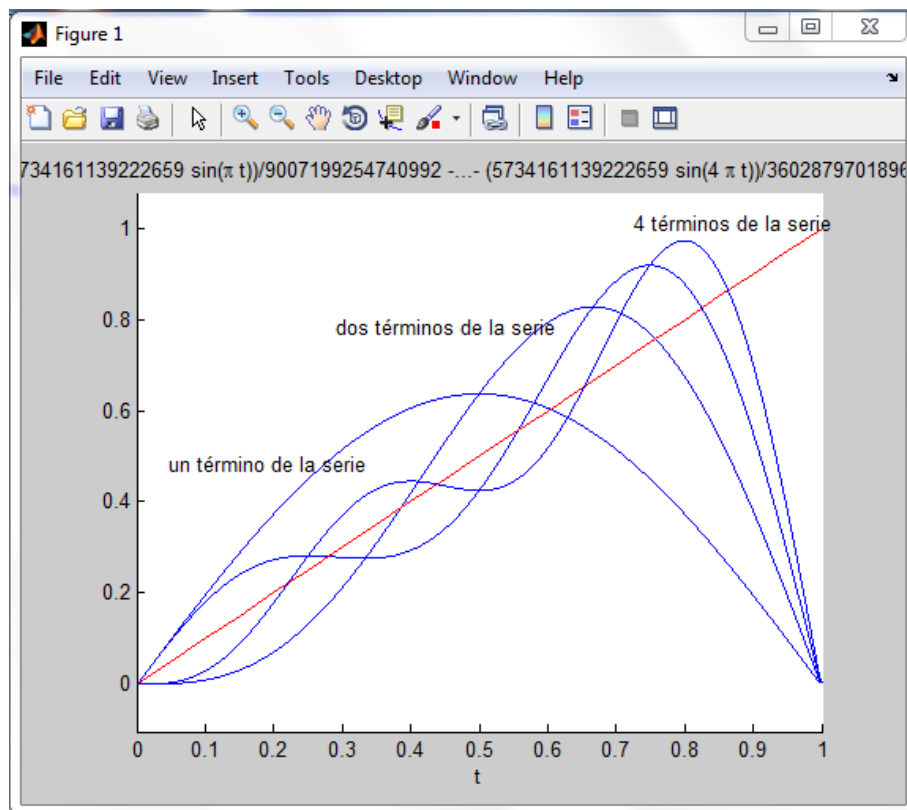
f =

t

aproximacion =

$$.6366 \sin(3.142t) - .3183 \sin(6.284t) + .2122 \sin(9.426t) - .1592 \sin(12.57t)$$

>> **hold off**



>> **seriefourier(10)**

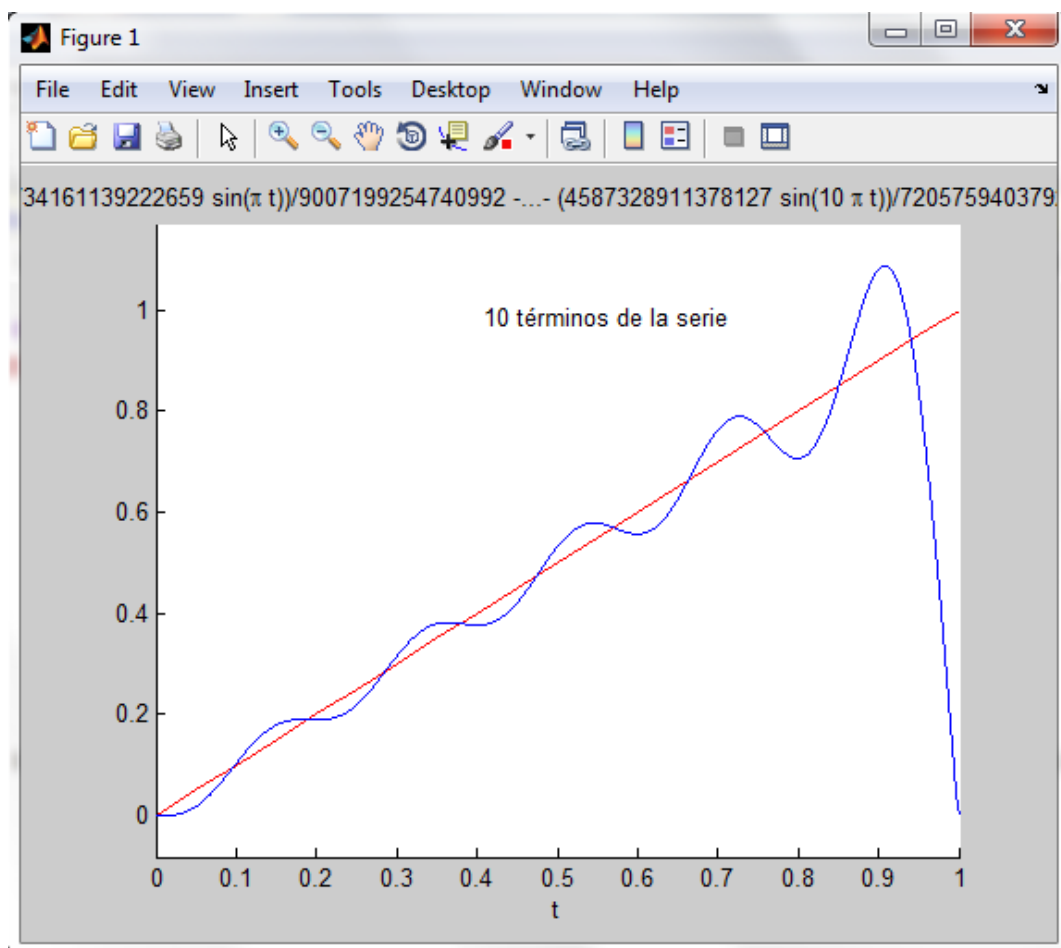
f =

t

aproximacion =

.6366\*sin(3.142\*t)-.3183\*sin(6.284\*t)+.2122\*sin(9.426\*t)-  
.1592\*sin(12.57\*t)+.1273\*sin(15.71\*t)-.1061\*sin(18.85\*t)+.9095e-1\*sin(21.99\*t)-  
.7958e-1\*sin(25.14\*t)+.7074e-1\*sin(28.28\*t)-.6366e-1\*sin(31.42\*t)

*% con 10 términos vamos teniendo una mejor aproximación, al menos, en términos de áreas por debajo de las gráficas. Necesitamos añadir más términos en el desarrollo en serie para observar esto mejor*



>> **hold off**

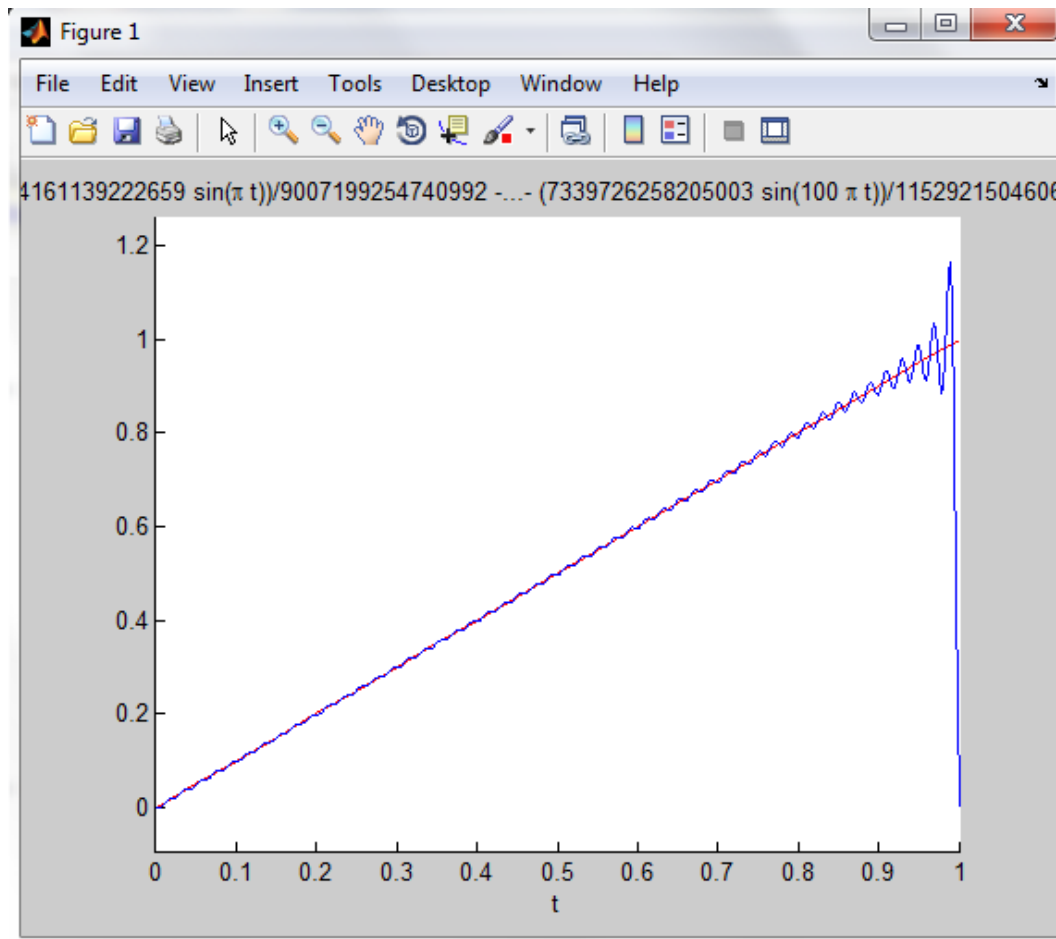
>> **seriefourier(100)**

f =

t

aproximacion =

```
-.1061e-1*sin(188.5*t)-.7958e-1*sin(25.14*t)+.6366*sin(3.142*t)-.7764e-
2*sin(257.6*t)+.7670e-2*sin(260.8*t)-.5305e-1*sin(37.70*t)+.6563e-
2*sin(304.8*t)+.8058e-2*sin(248.2*t)+.4897e-1*sin(40.85*t)-.6920e-
2*sin(289.1*t)+.6431e-2*sin(311.1*t)-.7958e-2*sin(251.4*t)+.8721e-2*sin(229.4*t)-
.2449e-1*sin(81.69*t)-.7403e-2*sin(270.2*t)+.7317e-2*sin(273.4*t)-.8162e-
2*sin(245.1*t)+.2358e-1*sin(84.83*t)-.9947e-2*sin(201.1*t)-.1273e-1*sin(157.1*t)-
.9362e-2*sin(213.7*t)+.1157e-1*sin(172.8*t)+.2546e-1*sin(78.55*t)+.8966e-
2*sin(223.1*t)-.6773e-2*sin(295.3*t)+.1481e-1*sin(135.1*t)+.1079e-1*sin(185.4*t)-
.8603e-2*sin(232.5*t)-.1989e-1*sin(100.5*t)-.1137e-1*sin(176.0*t)+.7153e-
2*sin(279.6*t)-.1061*sin(18.85*t)+.2195e-1*sin(91.12*t)-.1592e-
1*sin(125.7*t)+.9502e-2*sin(210.5*t)-.1592*sin(12.57*t)-.1027e-
1*sin(194.8*t)+.1632e-1*sin(122.5*t)+.1201e-1*sin(166.5*t)+.2768e-
1*sin(72.27*t)+.1248e-1*sin(160.2*t)+.1117e-1*sin(179.1*t)-.1872e-1*sin(106.8*t)-
.3537e-1*sin(56.56*t)+.7860e-2*sin(254.5*t)+.9095e-1*sin(21.99*t)-.3183e-
1*sin(62.84*t)+.5787e-1*sin(34.56*t)+.4244e-1*sin(47.13*t)+.8488e-2*sin(235.6*t)-
.9646e-2*sin(207.4*t)+.1415e-1*sin(141.4*t)+.8268e-2*sin(241.9*t)-.3979e-
1*sin(50.27*t)-.3183*sin(6.284*t)-.1326e-1*sin(150.8*t)+.6845e-
2*sin(292.2*t)+.1355e-1*sin(147.7*t)-.7234e-2*sin(276.5*t)-.2122e-
1*sin(94.26*t)+.3032e-1*sin(65.98*t)-.2274e-1*sin(87.98*t)+.3351e-
1*sin(59.70*t)+.1011e-1*sin(197.9*t)+.1819e-1*sin(110.0*t)+.6701e-2*sin(298.5*t)-
.8842e-2*sin(226.2*t)+.1721e-1*sin(116.3*t)-.6631e-
2*sin(301.6*t)+.2122*sin(9.426*t)-.6366e-1*sin(31.42*t)+.1273*sin(15.71*t)+.2054e-
1*sin(97.40*t)-.2653e-1*sin(75.41*t)-.1098e-1*sin(182.2*t)+.3745e-1*sin(53.41*t)-
.1675e-1*sin(119.4*t)-.7579e-2*sin(263.9*t)-.1224e-1*sin(163.4*t)+.1299e-
1*sin(154.0*t)-.4547e-1*sin(43.99*t)+.1044e-1*sin(191.7*t)+.7074e-1*sin(28.28*t)-
.1447e-1*sin(138.2*t)-.1768e-1*sin(113.1*t)+.1929e-1*sin(103.7*t)-.9095e-
2*sin(219.9*t)-.2894e-1*sin(69.12*t)-.1384e-1*sin(144.5*t)-.1179e-
1*sin(169.7*t)+.9226e-2*sin(216.8*t)-.1516e-1*sin(132.0*t)+.1553e-
1*sin(128.8*t)+.9794e-2*sin(204.2*t)+.6996e-2*sin(285.9*t)-.6496e-
2*sin(307.9*t)+.7490e-2*sin(267.1*t)-.8377e-2*sin(238.8*t)-.6366e-2*sin(314.2*t)-
.7074e-2*sin(282.8*t)
```



% vemos que la aproximación de los 100 primeros términos es una buena aproximación en el sentido de áreas por debajo de las gráficas (la gráfica de la función  $f(x)=x$  está en rojo). La aproximación es buena en los puntos de continuidad de  $f(x)$ , y es muy mala en el extremo  $x=1$ , como consecuencia de que los términos de la serie toman el valor 0 en  $x=1$ ,  $y, f(1)=1$ .

% Repetimos el experimento para la función discontinua en  $x=1/2$ , pero que verifica las condiciones de contorno de los términos del desarrollo en  $x=0$  y  $x=1$ : la función  $f(x)=x$  en  $[0,1/2]$ ,  $f(x)=0$  en  $(1/2,0]$ . La función  $f(x)$  está definida dentro de la función Matlab *seriefourier\_disc.m* como

```
>> syms t
```

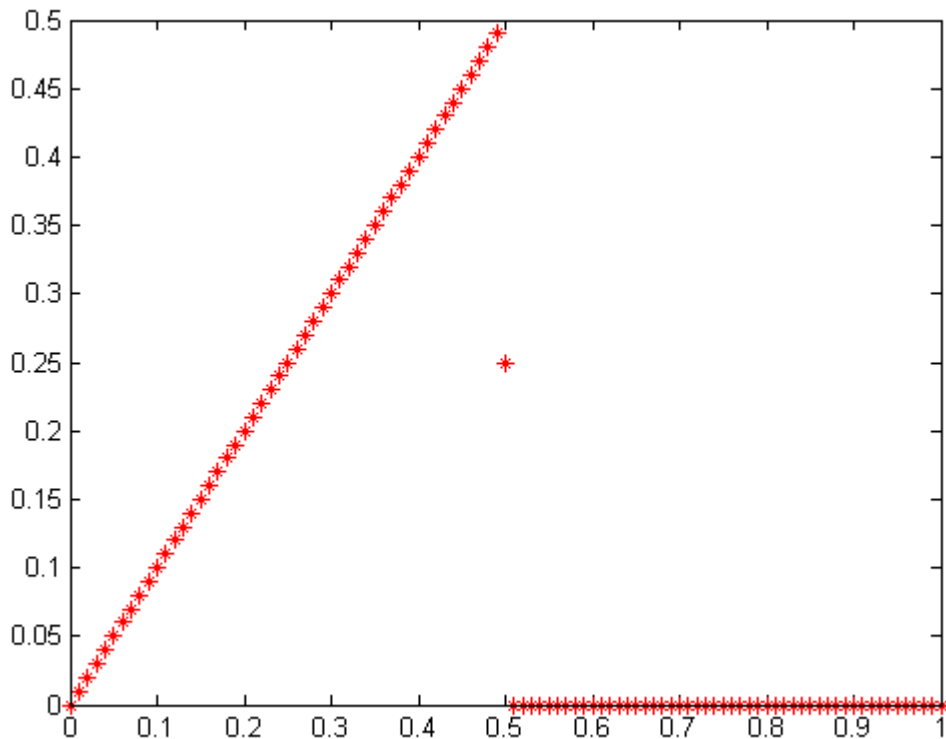
```
>> f=t*(heaviside(t)-heaviside(t-1/2));
```

% y su gráfica, en rojo, con el conjunto de comandos

```
>> dt=0:0.01:1;
```

```
>> df=subs(f,t,dt);
```

**>> plot(dt,df,'\*r')**



*% observamos que en  $t=1/2$ , nuestra función vale  $1/2$ , no  $1/4$  como aparece en la gráfica (punto intermedio marcado en rojo); esto es debido a la definición de la función de heaviside por Matlab, que varía dependiendo de la versión, como se ve con help en las versiones 2011 y 2008 de Matlab*

**>> help heaviside % versión 2008 de Matlab**

```
heaviside Step function.  
heaviside(X) is 0 for X < 0, 1 for X > 0, and .5 for X == 0.  
heaviside(X) is not a function in the strict sense.
```

**>> help heaviside % versión 2011 de Matlab**

```
HEAVISIDE Step function.  
HEAVISIDE(X) is 0 for X < 0, 1 for X > 0, and NaN for X == 0.  
HEAVISIDE(X) is not a function in the strict sense.
```

*% ejecutando el fichero seriefourier\_disc, para 10 términos en el desarrollo en serie, se obtiene*

**>> type seriefourier\_disc**

**>> seriefourier\_disc(10)**

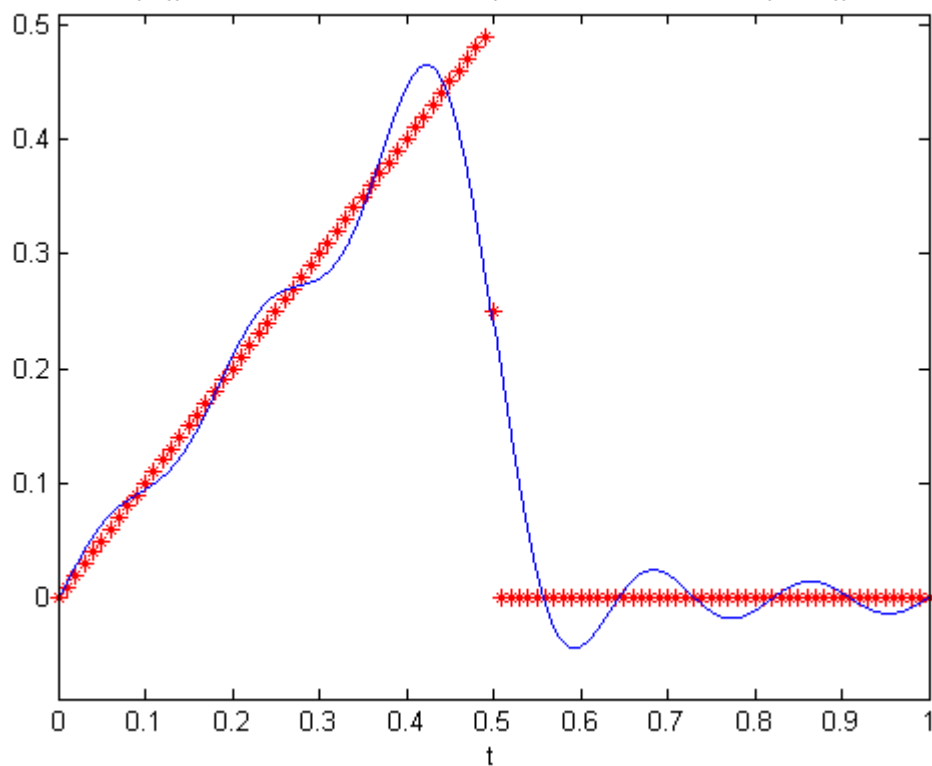
f =

-t\*(heaviside(t - 1/2) - heaviside(t))

aproximacion =

0.05305\*sin(18.85\*t) - 0.02252\*sin(9.425\*t) - 0.004136\*sin(21.99\*t) +  
0.2026\*sin(3.142\*t) + 0.1592\*sin(6.283\*t) - 0.07958\*sin(12.57\*t) -  
0.03979\*sin(25.13\*t) + 0.002502\*sin(28.27\*t) + 0.008106\*sin(15.71\*t) +  
0.03183\*sin(31.42\*t)

3155022448185 sin( $\pi t$ ))/1125899906842624 + ... + (4587328911378127 sin(10  $\pi t$ ))/1441151880756



% vemos la aproximación en términos de áreas por debajo de la curva, mientras que, y si volvemos a ejecutar con 100 términos, observamos la mejora de esta “convergencia” así como la convergencia puntual en [0,1/2], y en (1/2,0], mientras que en x=1/2 el valor de la serie es el valor medio de la función  $(f(1/2+)+f(1/2-))/2=1/4$  (que no coincide con  $f(1/2)=1/2$ )

>> *seriefourier\_disc(100)*

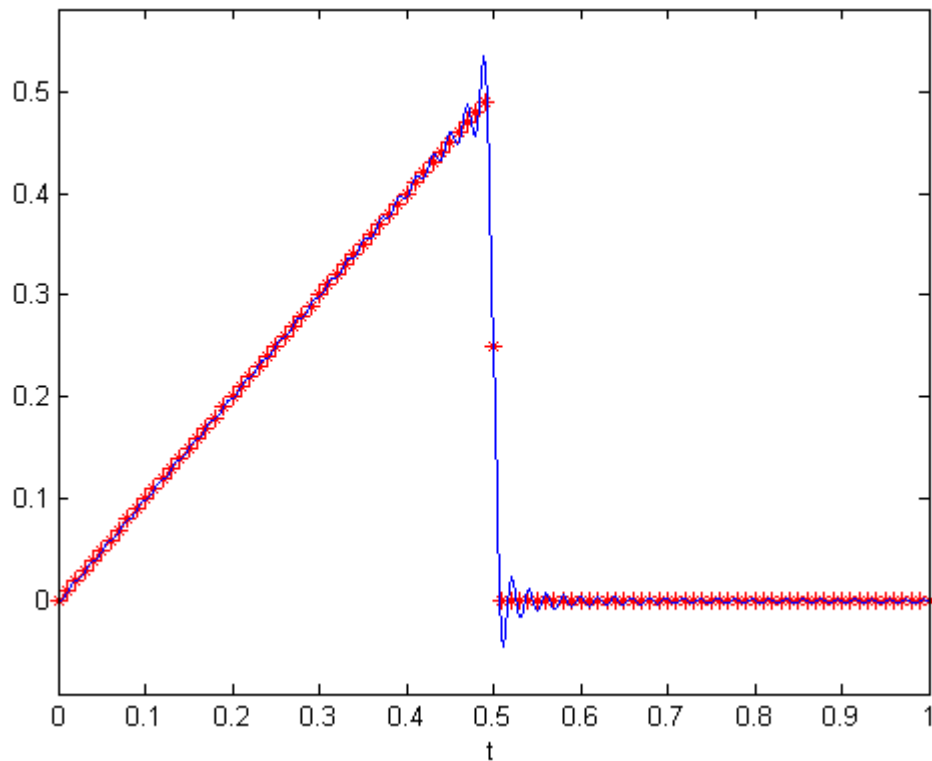
f =

$$-t * (\text{heaviside}(t - 1/2) - \text{heaviside}(t))$$

aproximacion =

$$\begin{aligned} & 0.0001205 * \sin(128.8*t) + 0.003882 * \sin(257.6*t) - 2.942e-5 * \sin(260.8*t) + \\ & 0.0004595 * \sin(65.97*t) + 0.007579 * \sin(131.9*t) - 0.003789 * \sin(263.9*t) + 2.805e- \\ & 5 * \sin(267.0*t) - 0.0001096 * \sin(135.1*t) + 0.003701 * \sin(270.2*t) - 2.677e- \\ & 5 * \sin(273.3*t) - 0.001675 * \sin(34.56*t) + 0.01447 * \sin(69.12*t) - 0.007234 * \sin(138.2*t) + \\ & - 0.003617 * \sin(276.5*t) + 2.558e-5 * \sin(279.6*t) + 0.0001001 * \sin(141.4*t) + \\ & 0.003537 * \sin(282.7*t) - 2.447e-5 * \sin(285.9*t) - 0.0003831 * \sin(72.26*t) + \\ & 0.00692 * \sin(144.5*t) - 0.00346 * \sin(289.0*t) + 2.343e-5 * \sin(292.2*t) - 9.173e- \\ & 5 * \sin(147.7*t) + 0.003386 * \sin(295.3*t) - 2.245e-5 * \sin(298.5*t) - 0.02252 * \sin(9.425*t) + \\ & + 0.05305 * \sin(18.85*t) - 0.02653 * \sin(37.7*t) - 0.01326 * \sin(75.4*t) - \\ & 0.006631 * \sin(150.8*t) - 0.003316 * \sin(301.6*t) + 2.154e-5 * \sin(304.7*t) + 8.44e- \\ & 5 * \sin(153.9*t) + 0.003248 * \sin(307.9*t) - 2.068e-5 * \sin(311.0*t) + \\ & 0.0003242 * \sin(78.54*t) + 0.006366 * \sin(157.1*t) - 0.003183 * \sin(314.2*t) - 7.791e- \\ & 5 * \sin(160.2*t) + 0.001199 * \sin(40.84*t) + 0.01224 * \sin(81.68*t) - \\ & 0.006121 * \sin(163.4*t) + 7.214e-5 * \sin(166.5*t) - 0.000278 * \sin(84.82*t) + \\ & 0.005895 * \sin(169.6*t) - 6.699e-5 * \sin(172.8*t) - 0.004136 * \sin(21.99*t) + \\ & 0.02274 * \sin(43.98*t) - 0.01137 * \sin(87.96*t) - 0.005684 * \sin(175.9*t) + 6.237e- \\ & 5 * \sin(179.1*t) + 0.000241 * \sin(91.11*t) + 0.005488 * \sin(182.2*t) - 5.821e- \\ & 5 * \sin(185.4*t) - 0.0009006 * \sin(47.12*t) + 0.01061 * \sin(94.25*t) - \\ & 0.005305 * \sin(188.5*t) + 5.446e-5 * \sin(191.6*t) - 0.0002109 * \sin(97.39*t) + \\ & 0.005134 * \sin(194.8*t) - 5.106e-5 * \sin(197.9*t) + 0.2026 * \sin(3.142*t) + \\ & 0.1592 * \sin(6.283*t) - 0.07958 * \sin(12.57*t) - 0.03979 * \sin(25.13*t) - \\ & 0.01989 * \sin(50.27*t) - 0.009947 * \sin(100.5*t) - 0.004974 * \sin(201.1*t) + 4.796e- \\ & 5 * \sin(204.2*t) + 0.0001861 * \sin(103.7*t) + 0.004823 * \sin(207.3*t) - 4.514e- \\ & 5 * \sin(210.5*t) + 0.0007012 * \sin(53.41*t) + 0.009362 * \sin(106.8*t) - \\ & 0.004681 * \sin(213.6*t) + 4.256e-5 * \sin(216.8*t) - 0.0001654 * \sin(110.0*t) + \\ & 0.004547 * \sin(219.9*t) - 4.02e-5 * \sin(223.1*t) + 0.002502 * \sin(28.27*t) + \\ & 0.01768 * \sin(56.55*t) - 0.008842 * \sin(113.1*t) - 0.004421 * \sin(226.2*t) + 3.803e- \\ & 5 * \sin(229.3*t) + 0.000148 * \sin(116.2*t) + 0.004301 * \sin(232.5*t) - 3.603e- \\ & 5 * \sin(235.6*t) - 0.0005613 * \sin(59.69*t) + 0.008377 * \sin(119.4*t) - \\ & 0.004188 * \sin(238.8*t) + 3.418e-5 * \sin(241.9*t) - 0.0001332 * \sin(122.5*t) + \\ & 0.004081 * \sin(245.0*t) - 3.247e-5 * \sin(248.2*t) + 0.008106 * \sin(15.71*t) + \\ & 0.03183 * \sin(31.42*t) - 0.01592 * \sin(62.83*t) - 0.007958 * \sin(125.7*t) - \\ & 0.003979 * \sin(251.3*t) + 3.089e-5 * \sin(254.5*t) \end{aligned}$$

$155022448185 \sin(\pi t))/1125899906842624 + \dots - (7339726258205003 \sin(100 \pi t))/2305843009213$



% En el caso en que la función  $f(x)$  a aproximar sea de clase  $C^2$  en  $[0,1]$  y verifique las condiciones de contorno del problema de valores propios, esto es, de los términos de la serie, la aproximación mejora considerablemente (se trata de una convergencia uniforme), y los tres o cuatro primeros términos del desarrollo nos dan ya una muy buena aproximación de la solución como puede observarse para la función  $f(x)=x(x-1)$  introducida en la función Matlab seriefouriercc.m

```
>> syms t
>> f=t*(t-1);
% hacemos la gráfica en rojo
>> dt=0:0.01:1;
>> df=subs(f,t,dt);
>> plot(dt,df,'*r')
>> type seriefouriercc
```

>> seriefouriercc(1);

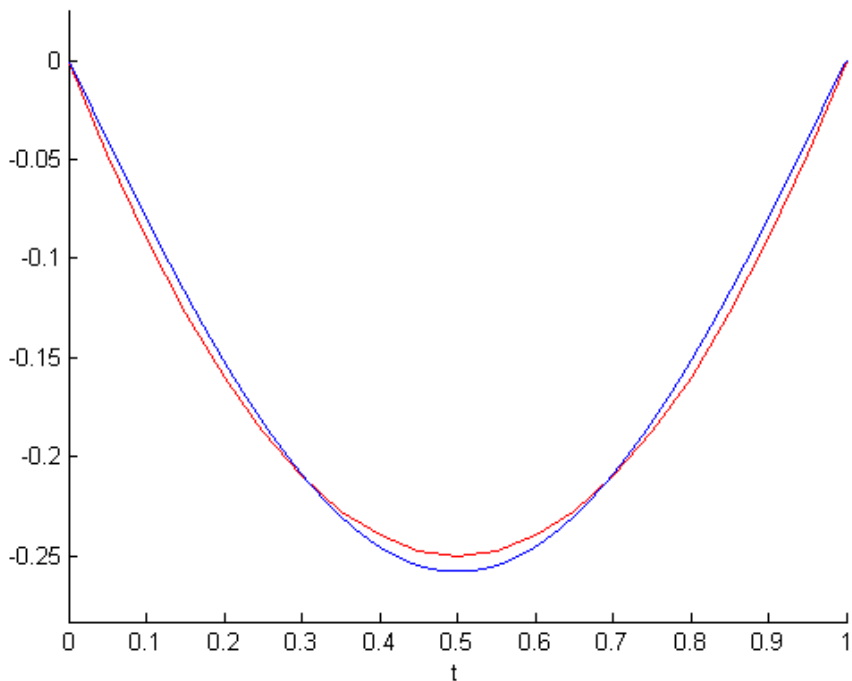
f =

$t^*(t - 1)$

aproximacion =

$-0.258 * \sin(3.142 * t)$

$$-(2323967975287743 \sin(\pi t)) / 9007199254740992$$



% la primera aproximación en azul, mediante un solo término del desarrollo es ya bastante buena; abajo vemos que es mejor la aproximación por tres términos, que aparentemente coincide con la solución (siempre se comete un error!)

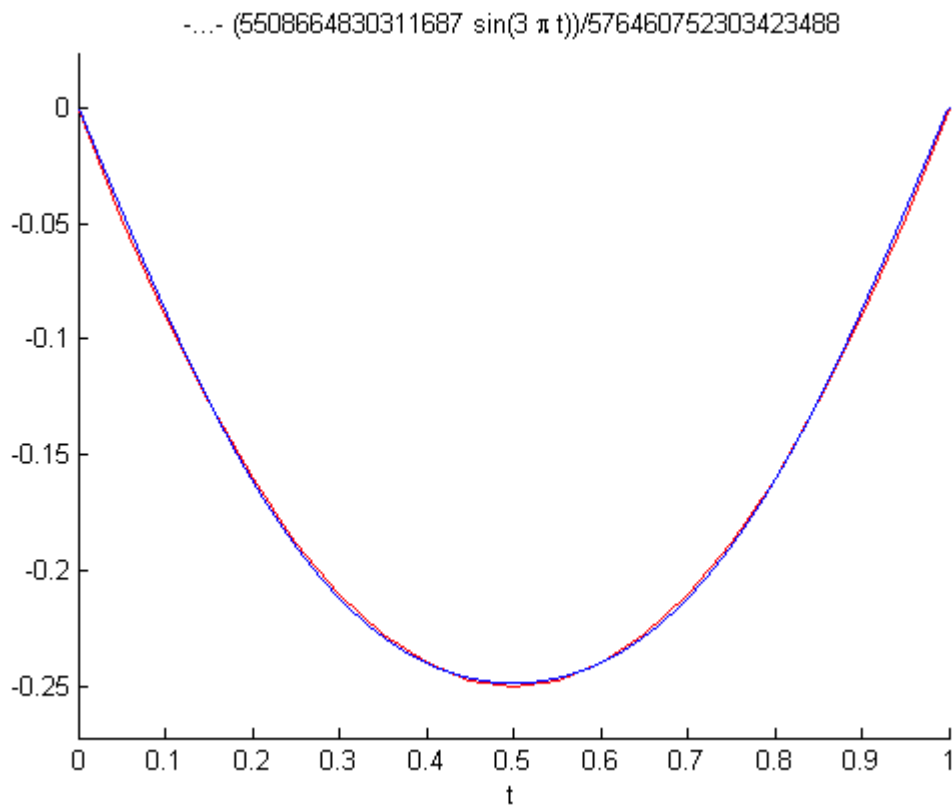
>> seriefouriercc(3)

f =

$t^*(t - 1)$

aproximacion =

$-0.009556 * \sin(9.425 * t) - 0.258 * \sin(3.142 * t)$



*% Resolución explícita de ED de segundo orden: recordamos que  $y''$  es  $D2y$  en Matlab  
( $y'$  es  $Dy$  respectivamente)*

```
>> dsolve('D2y-y=t^2')
```

ans =

$\exp(t)*C2+\exp(-t)*C1-2-t^2$

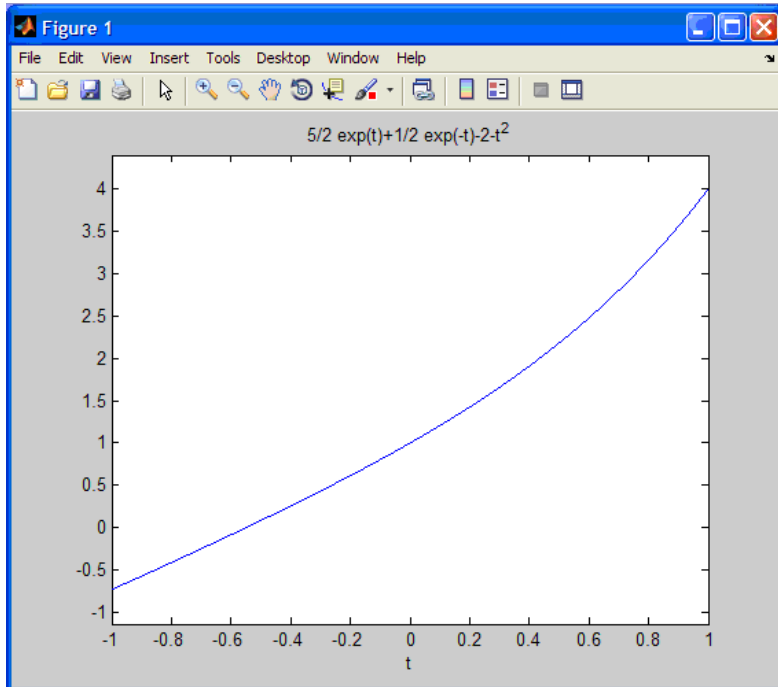
*%  $C1$  y  $C2$  son las constantes de integración, y se determinan imponiendo condiciones iniciales o de contorno*

```
>> dsolve('D2y-y=t^2','y(0)=1','Dy(0)=2'); % ejemplo de Problema de Cauchy con solución definida en (-infinito,infinito)
```

ans =

$5/2*\exp(t)+1/2*\exp(-t)-2-t^2$

**>> ezplot(ans,[-1,1])**



**>> dsolve('D2y-y=t^2','y(0)=0','y(1)=0') % ejemplo de problema de contorno con solución definida en (0,1)**

ans =

-exp(t)\*(-3+2\*exp(-1))/(exp(1)-exp(-1))+exp(-t)\*(2\*exp(1)-3)/(exp(1)-exp(-1))-2-t^2

% pretty, simple, simplify y vpa ayudan a visualizar mejor

**>> pretty(ans)**

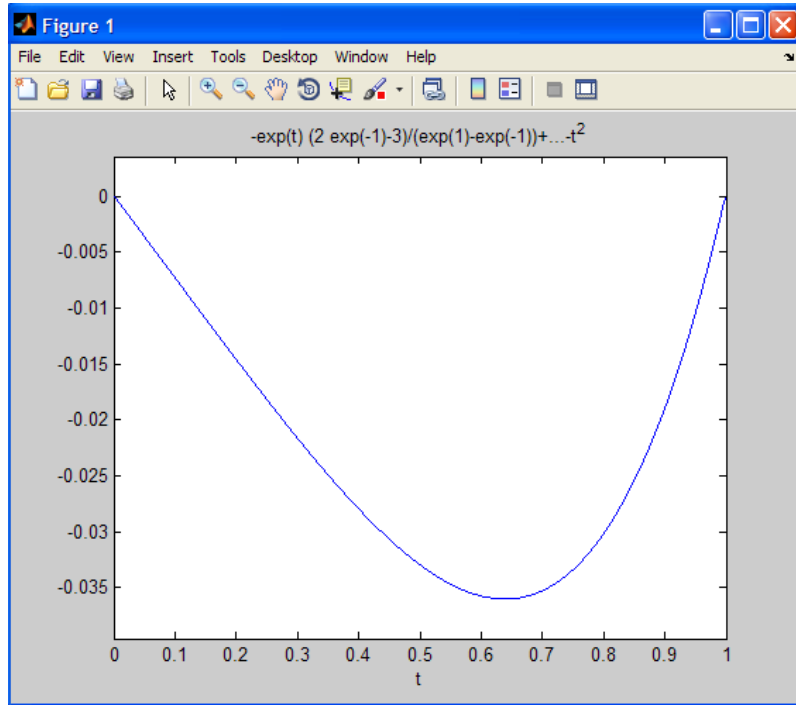
$$-\frac{\exp(t) \left(-3 + 2 \exp(-1)\right)}{\exp(1) - \exp(-1)} + \frac{\exp(-t) \left(2 \exp(1) - 3\right)}{\exp(1) - \exp(-1)} - 2 - t^2$$

**>> vpa(ans,5)**

ans =

.96333\*exp(t)+1.0367\*exp(-1.\*t)-2.-1.\*t^2

**>> ezplot(ans,[0,1]) % se dibuja en el intervalo donde está definida la solución**



*% Ejemplo de problema de contorno con solución única que Matlab no resuelve explícitamente:  $y''-t^3y=\exp(-t^2)$ ,  $y(0)=0$ ,  $y(1)=0$*

**>> dsolve('D2y-t^3\*y=0','y(0)=0','y(1)=0') % tiene solo la solución trivial**

ans =

0

**>> dsolve('D2y-t^3\*y=0')**

ans =

$t^{(1/2)}*(C1*besseli(1/5,2/5*t^(5/2))+C2*besselk(1/5,2/5*t^(5/2)))$

**>> dsolve('D2y-t^3\*y=exp(-t^2)')**

ans =

$1/5*t^{(1/2)}*(5*C2*besseli(1/5,2/5*t^(5/2))+5*besselk(1/5,2/5*t^(5/2))*C1+2*int(t^{(1/2)}*besselk(1/5,2/5*t^(5/2))*exp(-t^2),t)*besseli(1/5,2/5*t^(5/2))-2*int(t^{(1/2)}*besseli(1/5,2/5*t^(5/2))*exp(-t^2),t)*besselk(1/5,2/5*t^(5/2)))$

% vemos que integra la ecuación homogénea, pero no la no homogénea, y por tanto no resuelve el problema de contorno:

```
>> dsolve('D2y-t^3*y=exp(-t^2)', 'y(0)=0', 'y(1)=0')
```

Warning: Explicit solution could not be found.

> In <a href="error:C:\Archivos de  
programa\MATLAB\R2007b\toolbox\symbolic\dsolve.m,333,1">dsolve at 333</a>

ans =

[ empty sym ]

% sin embargo, como dicho problema tiene solución única, se puede aproximar la solución numéricamente utilizando, por ejemplo, las funciones Matlab galerkin.m y/o elementosfinitos.m

## Segunda parte: aproximaciones numéricas

% Las funciones Matlab galerkin.m y elementosfinitos.m convenientemente adaptadas permiten aproximar soluciones de problemas de contorno usando como funciones de base las funciones propias de un problema de valores propios (es "una base de funciones"), y las de los elementos finitos (funciones lineales a trozos asociadas a una partición del intervalo donde se define el problema), respectivamente. Leen n, el número de elementos de la base que se quiere utilizar para la aproximación.

% Concretamente, ejecutando "galerkin(n)", se calcula la aproximación de la solución del problema de contorno

$y'' - y = x^2$ ,  $x$  en  $(0,1)$ ,  $y(0)=0$ ,  $y(1)=0$ ,  
por el método de Galerkin, utilizando como funciones de base las funciones propias del problema de valores propios

$y'' + \lambda y = 0$ ,  $x$  en  $(0,1)$ ,  $y(0)=0$ ,  $y(1)=0$ .

Dichas funciones propias son  $\sin(k\pi x)$ ,  $k=1,2,\dots$  asociadas a los valores propios  $\lambda = k^2\pi^2$ . Lee  $n$  el número de elementos de la base y nos devuelva el vector c que nos permite calcular la aproximación de la solución

$(u) = y_n(t) = \sum_{j=1}^n (c_j \sin(j\pi t))$

Dado que para este problema se conoce la solución explícita, la función galerkin.m compara la aproximación u con la solución.

*% En el proceso de cálculo hay que resolver un sistema:  $Ac=f$ , donde  $A$  es la matriz de coeficientes,  $f$  es el término independiente y  $c$  es la solución del sistema. El siguiente conjunto de instrucciones permite definir  $A$  y  $f$  y resolver el sistema.*

```

syms t %variable simbólica
A=ones(n,n); % inicializa matriz y vector
f=ones(n,1);
for i=1:n
    f(i)=-double(int(sin(i*pi*t)*t^2,0,1));
    for j=1:n
        if i==j
            A(i,j)=double(int((i*pi*cos(i*pi*t))^2,0,1)+int((sin(pi*i*t))^2,0,1));
        else
            A(i,j)=double(int(i*pi*cos(i*pi*t)*j*pi*cos(j*pi*t),0,1)+
            int(sin(i*pi*t)*sin(j*pi*t),0,1));
        end
    end
end
%
matriz_sistema=A
termino_independiente=f
%
c=A\f; % resolviendo el sistema
coeficientes_solucion=c

```

*% El siguiente conjunto de instrucciones define la aproximación de la solución y nos proporciona su gráfica en línea discontinua*

```

u=0;
for i=1:n
    u=u+c(i)*sin(pi*i*t);
end
%
solu_aproximada=vpa(u,4)% una forma de visualizar la aproximación
%
dt=0:0.05:1;
du=subs(u,t,dt);
ddu=double(du);
plot(dt,ddu,'--') % se podría utilizar ezplot

```

% Si no se sabe resolver la ecuación diferencial el programa acabaría aquí. En este ejemplo concreto, se calcula la solución del problema de contorno y se compara la gráfica de la solución con la de u obtenida arriba

```
v=dsolve('D2y-y=t^2','y(0)=0','y(1)=0');
solu_exacta=v
%
hold on
ezplot(v,[0,1])
hold off
```

% Por la misma razón se pueden calcular explícitamente los coeficientes de Fourier de la solución v, alpha(i), y compararlos con los coeficientes c(i) que nos da la resolución del sistema. Se comprueba que se aproximan (para N grande).

```
alpha=ones(n,1);
for i=1:n
    alpha(i)=double(int(sin(i*pi*t)*v,0,1)/int((sin(pi*i*t))^2,0,1));
end
coeficientes_fourier=alpha
%
errorfourier_galerkin=alpha-c
```

% En este ejemplo concreto, se cometan pocos errores de cálculo dado que, por las características del problema y base utilizada (ED de coeficientes constantes, ortogonalidad de las funciones propias y de sus derivadas,...), se tiene que A es una matriz diagonal y se puede demostrar que los coeficientes c(i) coinciden con los alpha(i).

% Se ejecuta el fichero para distintos n viendo que la aproximación de la solución es muy buena con pocos elementos de la base, se comparan gráficas y soluciones

>> **galerkin(2)**

matriz\_sistema =

5.4348 0  
0 20.2392

termino\_independiente =

-0.1893  
0.1592

coeficientes\_solucion =

-0.0348  
0.0079

solu\_aproximada =

.3483e-1\*sin(3.142\*t)+.7864e-2\*sin(6.284\*t)

solu\_exacta =

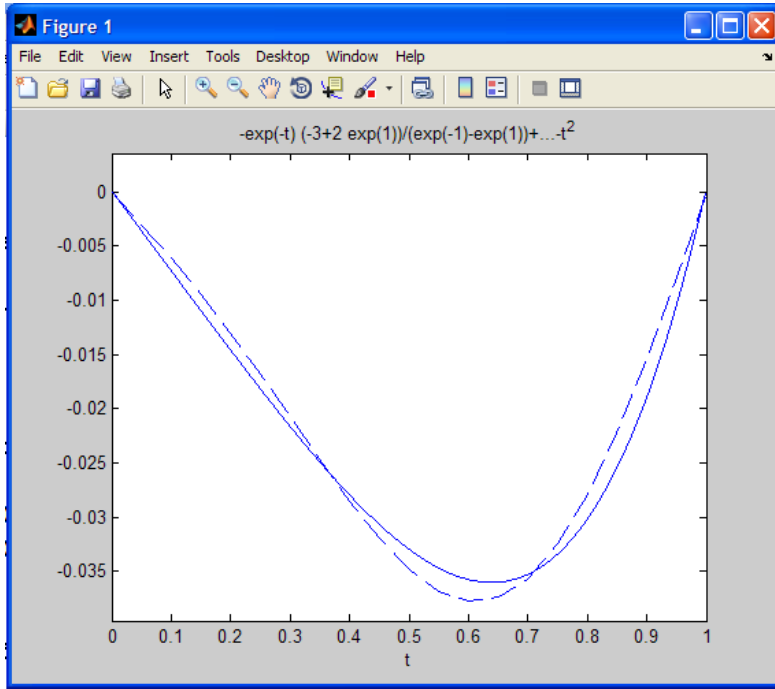
-exp(t)\*(-3+2\*exp(-1))/(exp(1)-exp(-1))+exp(-t)\*(2\*exp(1)-3)/(exp(1)-exp(-1))-2\*t^2

coeficientes\_fourier =

-0.0348  
0.0079

errorfourier\_galerkin =

1.0e-015 \*  
-0.1874  
0.1006



>> **galerkin(4)**

matriz\_sistema =

```
5.4348  0    0    0
      0 20.2392  0    0
      0    0 44.9132  0
      0    0    0 79.4568
```

termino\_independiente =

```
-0.1893
0.1592
-0.1013
0.0796
```

coeficientes\_solucion =

```
-0.0348
0.0079
-0.0023
0.0010
```

solu\_aproximada =

$$-.3483e-1 \sin(3.142*t) + .7864e-2 \sin(6.284*t) - .2256e-2 \sin(9.426*t) + .1002e-2 \sin(12.57*t)$$

solu\_exacta =

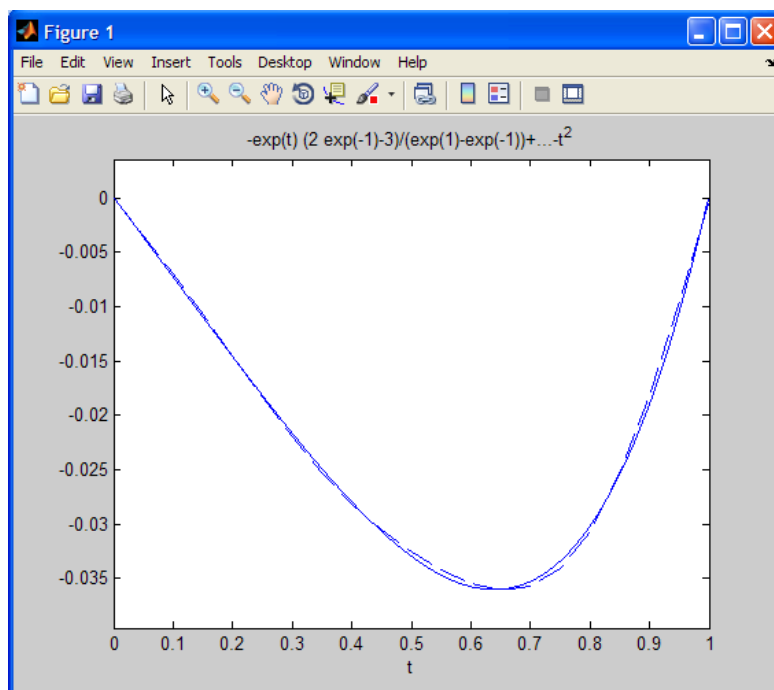
$$-\exp(t)*(-3+2*\exp(-1))/(\exp(1)-\exp(-1))+\exp(-t)*(2*\exp(1)-3)/(\exp(1)-\exp(-1))-2*t^2$$

coeficientes\_fourier =

-0.0348  
0.0079  
-0.0023  
0.0010

errorfourier\_galerkin =

1.0e-015 \*  
  
-0.1874  
0.1006  
-0.0681  
0.0510



*% Buenas aproximaciones por las características del problema: los coeficientes de Fourier coinciden con la solución del sistema*

**>> galerkin(8)**

matriz\_sistema =

Columns 1 through 6

```
5.4348  0    0    0    0    0
      0  20.2392  0    0    0    0
      0    0  44.9132  0    0    0
      0    0    0  79.4568  0    0
      0    0    0    0  123.8701  0
      0    0    0    0    0  178.1529
      0    0    0    0    0    0
      0    0    0    0    0    0
```

Columns 7 through 8

```
0    0
0    0
0    0
0    0
0    0
0    0
242.3053  0
0  316.3273
```

termino\_independiente =

```
-0.1893
0.1592
-0.1013
0.0796
-0.0626
0.0531
-0.0451
0.0398
```

coeficientes\_solucion =

-0.0348  
0.0079  
-0.0023  
0.0010  
-0.0005  
0.0003  
-0.0002  
0.0001

solu\_aproximada =

-.3483e-1\*sin(3.142\*t)+.7864e-2\*sin(6.284\*t)-.2256e-2\*sin(9.426\*t)+.1002e-2\*sin(12.57\*t)-.5056e-3\*sin(15.71\*t)+.2978e-3\*sin(18.85\*t)-.1861e-3\*sin(21.99\*t)+.1258e-3\*sin(25.14\*t)

solu\_exacta =

-exp(-t)\*(2\*exp(1)-3)/(exp(-1)-exp(1))+exp(t)\*(-3+2\*exp(-1))/(exp(-1)-exp(1))-2-t^2

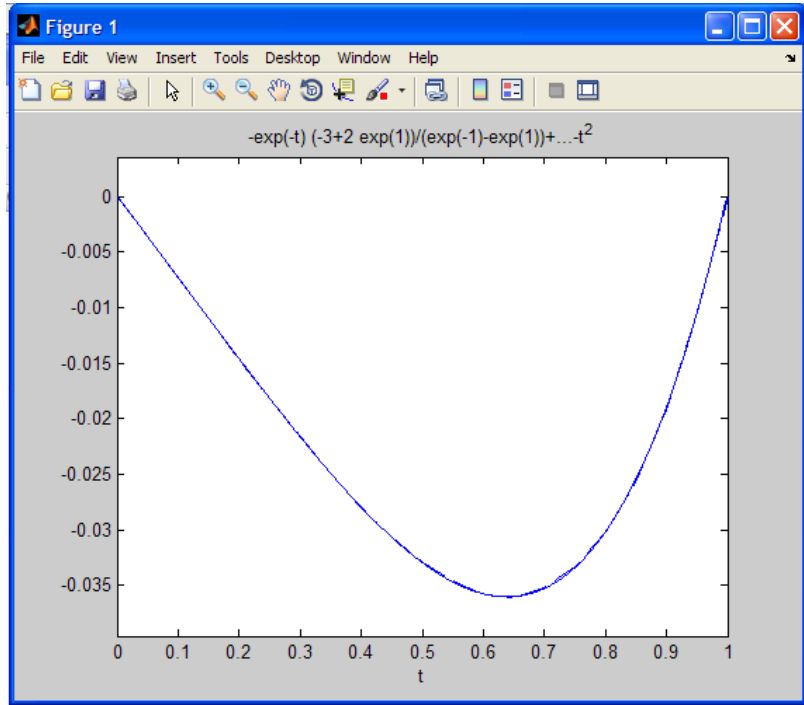
coeficientes\_fourier =

-0.0348  
0.0079  
-0.0023  
0.0010  
-0.0005  
0.0003  
-0.0002  
0.0001

errorfourier\_galerkin =

1.0e-015 \*  
  
-0.1874  
0.1006  
-0.0681  
0.0510  
-0.0411  
0.0343  
-0.0294  
0.0257

---



[\*\*>> type galerkin\*\*](#)

% Se modifica el programa para otro problema en que no se conoce la solución explícita, aunque se sabe que existe y es única:

$y'' - x^2y = \exp(x)$ ,  $x$  en  $(0,1)$ ,  $y(0)=0$ ,  $y(1)=0$ .

Se observa que la matriz  $A$  no es diagonal, complicándose los cálculos. Se puede establecer un test de parada comparando gráficas.

**>> dsolve('D2y-t^2\*y=exp(t)', 'y(0)=0', 'y(1)=0')**

Warning: Possibly missing solutions. [solvini]

Warning: Explicit solution could not be found.

> In dsolve at 161

ans =

[ empty sym ]

% el problema homogéneo asociado tiene sólo la solución trivial

**>> dsolve('D2y-t^2\*y=0', 'y(0)=0', 'y(1)=0')**

ans =

0

*% Una simple modificación dentro de la función Matlab galerkin.m de las integrales que aparecen definiendo f y A*

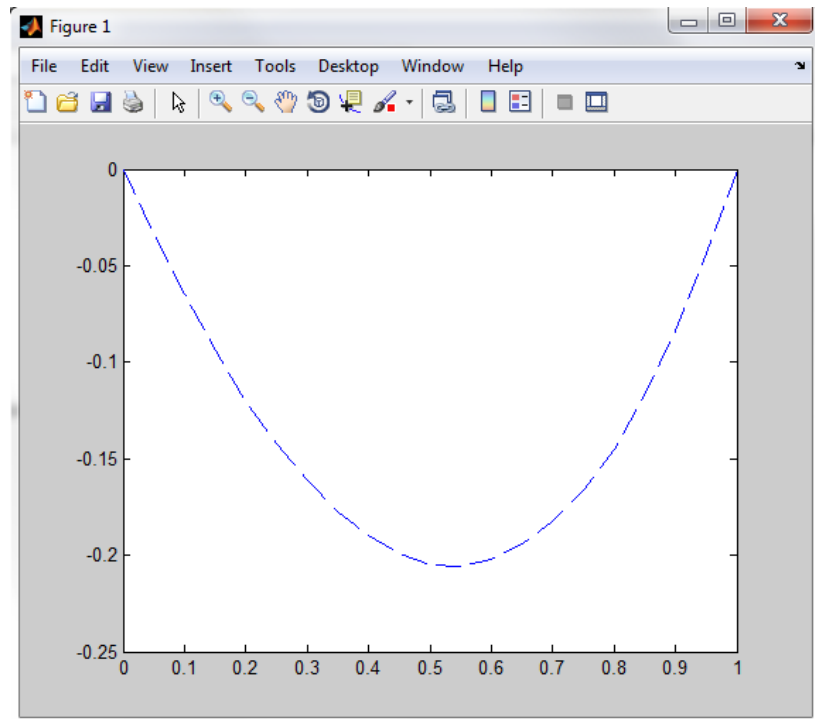
```
f(i)=-double(int(sin(i*pi*t)*exp(t),0,1));
%
A(i,j)=double(int((i*pi*cos(i*pi*t))^2,0,1)+int((sin(pi*i*t))^2*t^2,0,1));
%
A(i,j)=double(int(i*pi*cos(i*pi*t)*j*pi*cos(j*pi*t),0,1)+int(sin(i*pi*t)*sin(j*pi*t)*t^2,0,1));
```

*% Así, ejecutando el fichero para n=6, nos devuelve la matriz del sistema simétrica pero con todos los términos no nulos*

matriz\_sistema =

```
5.0761 -0.0901  0.0190 -0.0072  0.0035 -0.0020
-0.0901 19.8995 -0.0973  0.0225 -0.0092  0.0047
 0.0190 -0.0973 44.5771 -0.0993  0.0237 -0.0100
-0.0072  0.0225 -0.0993 79.1219 -0.1001  0.0243
 0.0035 -0.0092  0.0237 -0.1001 123.5357 -0.1005
-0.0020  0.0047 -0.0100  0.0243 -0.1005 177.8188
```

*% y la gráfica de la solución aproximada (abajo) que ya no varía mucho para n más grandes*



*% Comentarios análogos a los de la función galerkin.m se tienen con elementosfinitos.m: ejecutando "elementosfinitos(n)", la función nos proporciona una aproximación de la solución del problema de contorno  $y'' - y = x^2$ ,  $x$  en  $(0,1)$ ,  $y(0)=0$ ,  $y(1)=0$ , utilizando las funciones de base lineales a trozos, asociadas a los nodos internos de una partición  $\{x_i\}_{i=0}^{n+1}$  del intervalo  $[0,1]$ , y compara dicha aproximación con la solución explícita. Esto es, se toman las funciones de base  $\phi_i(x)$  que son polinomios de grado 1 en los sub-intervalos  $[x_i, x_{i+1}]$ , continuas en  $[0,1]$ , se anulan en  $x=0$  y  $x=1$ , y toman el valor 1 en el nodo  $x_i$  y 0 en el resto de los nodos ("hat functions").*

*% La función elementosfinitos.m lee n, el número de nodos del intervalo  $(0,1)$ ; calcula la matriz del sistema A y el término independiente f, y nos devuelve un vector c: c(i) es la solución aproximada en el nodo  $x_i = i * h$ ,  $i=1,2,\dots,n$ .*

*% El siguiente conjunto de instrucciones define los nodos y las funciones que intervienen en la ED*

```

h=1/(n+1);
x=ones(n+2,1);
for i=1:n+2
    x(i)=(i-1)*h;
end
%
syms t; % variable simbólica
q=-1; % término que aparece multiplicando a y(x): y''+q(x)y=r(x)
r=t^2; % término independiente: y''+q(x)y=r(x)

```

*% el siguiente conjunto de instrucciones define y resuelve el sistema  $Ac=f$  (A matriz tridiagonal simétrica nxn, f término independiente, vector c aproximación de la solución en los nodos internos) y se dibuja la solución aproximada en línea discontinua*

```
R=ones(n,1);% inicializando vectores
S=ones(n,1);
Q=ones(n,1);
f=ones(n,1);
a1=ones(n,1);
amenos1=ones((n-1),1);
mas1=ones((n-1),1);
% definiendo las integrales sobre cada segmento [x_i,x_{i+1}]
for i=1:n
    R(i)=double(int(q*(t-x(i+2))^2,x(i+1),x(i+2)));
    Q(i)= double(int(q*(t-x(i))^2,x(i),x(i+1)));
    S(i)=double(int(q*(t-x(i))*(t-x(i+1)),x(i),x(i+1)));
    f(i)=double((1/h)*int(r*(t-x(i)),x(i),x(i+1))+(1/h)*int(r*(-t+x(i+2)),x(i+1),x(i+2)));
end
S1menos=S(2:n);

% la matriz A se define a través de los vectores que definen las diagonales y
% subdiagonales
%
a1=(1/h^2)*(-2*h*ones(n,1)+Q+R); % A(i,i)
%
amenos1=(1/h^2)*(h*ones((n-1),1)-S1menos); % A(i,i-1)
%
amas1=amenos1; % A(i,i+1)
%
A=diag(a1)+diag(amas1,1)+diag(amenos1,-1);
%
matriz_sistema=A
termino_independiente=f
%
c=A\f; % resolviendo el sistema
%
coeficientes_solucion=c
%
Nodo_y_Aproximacionsolucion=[x,[0;c;0]]
% gráfica de la solución
plot(x,[0;c;0],'-')
```

% Si no se sabe resolver la ecuación diferencial, el programa acabaría aquí. En este ejemplo, se calcula la solución explícita del problema de contorno, se evalúa dicha solución en los nodos, y se comparan los valores numéricos y las gráficas

```
% definiendo la solución exacta y comparando gráficas
%
v=dsolve('D2y-y=t^2','y(0)=0','y(1)=0');
solu_exacta=v
%
hold on
%
ezplot(v,[0,1])
% calculando errores en nodos c_i-v(x_i)
nodos=x
solucionaproximadaennodos=[0;c;0];
solucionexactaennodos=subs(v,t,x);
%
error=solucionaproximadaennodos-solucionexactaennodos
```

% Se observa que, en este ejemplo concreto, los errores en los nodos son relativamente pequeños para n pequeño. Esto es debido a las características del problema (se calculan primitivas, por ejemplo). Se ejecuta el fichero para distintos n viendo gráficamente cómo la aproximación se acerca a la solución para n grande y también cómo va disminuyendo el error en los nodos.

>> elementosfinitos(3)

matriz\_sistema =

```
-8.1667  3.9583    0
3.9583 -8.1667  3.9583
  0     3.9583 -8.1667
```

termino\_independiente =

```
0.0182
0.0651
0.1432
```

coeficientes\_solucion =

-0.0183  
-0.0331  
-0.0336

Nodo\_y\_Aproximacionsolucion =

0	0
0.2500	-0.0183
0.5000	-0.0331
0.7500	-0.0336
1.0000	0

solu\_exacta =

$-\exp(t)*(-3+2*\exp(-1))/(\exp(1)-\exp(-1))+\exp(-t)*(2*\exp(1)-3)/(\exp(1)-\exp(-1))-2-t^2$

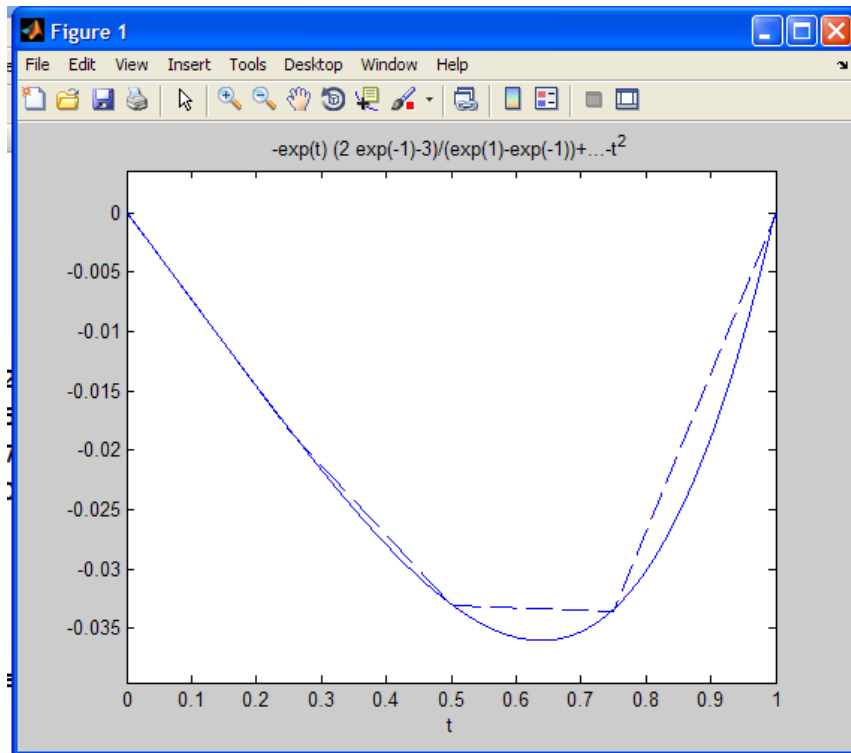
nodos =

0
0.2500
0.5000
0.7500
1.0000

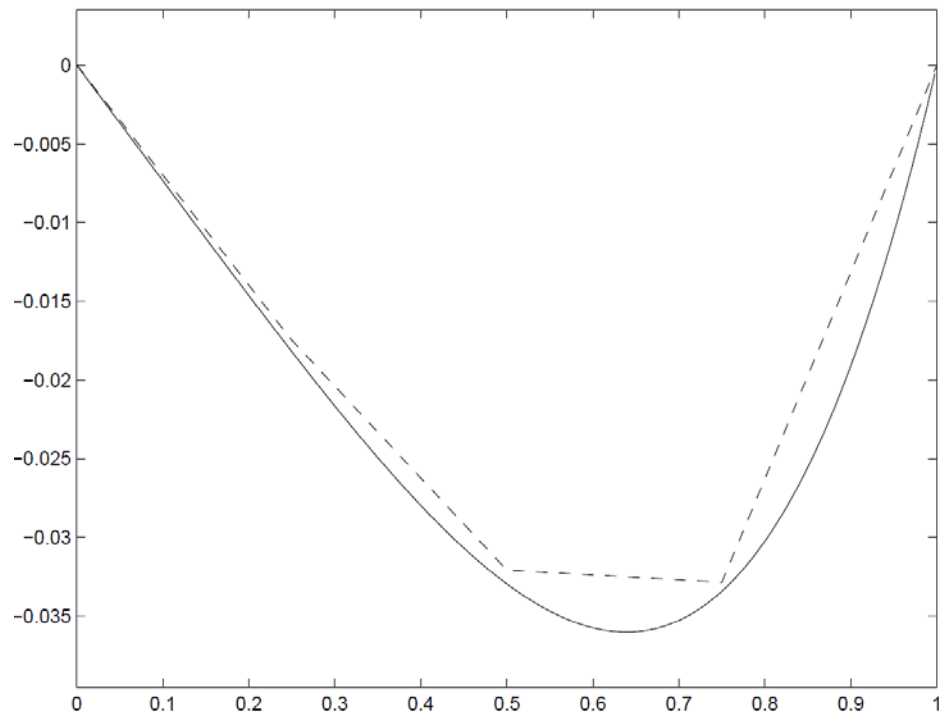
error =

1.0e-003 \*

0
-0.0873
-0.1600
-0.1653
0.0000



*% En principio, el comando “double” delante de la integral nos devuelve una aproximación numérica de la integral aunque no se sepa calcular la primitiva, pero conviene observar que si las integrales no se pueden calcular explícitamente, y se introduce una cuadratura numérica simple (aproximación por el punto central), entonces el error aumenta, como nos muestra la figura de abajo*



>> **elementosfinitos(4)**

matriz\_sistema =

```
-10.1333  4.9667    0      0
 4.9667 -10.1333  4.9667    0
      0     4.9667 -10.1333  4.9667
      0      0     4.9667 -10.1333
```

termino\_independiente =

```
0.0093
0.0333
0.0733
0.1293
```

coeficientes\_solucion =

```
-0.0147
-0.0281
-0.0359
-0.0303
```

Nodo\_y\_Aproximacionsolucion =

```
0      0
0.2000 -0.0147
0.4000 -0.0281
0.6000 -0.0359
0.8000 -0.0303
1.0000    0
```

solu\_exacta =

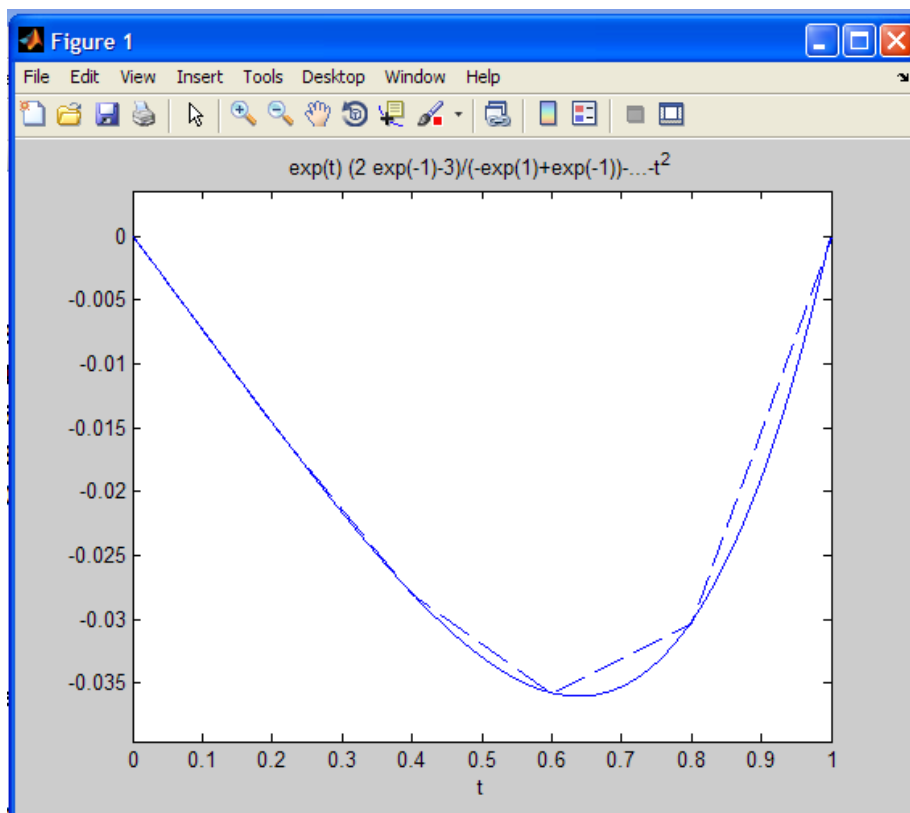
$-\exp(t)*(-3+2*\exp(-1))/(\exp(1)-\exp(-1))+\exp(-t)*(2*\exp(1)-3)/(\exp(1)-\exp(-1))-2-t^2$

nodos =

```
0  
0.2000  
0.4000  
0.6000  
0.8000  
1.0000
```

error =

```
1.0e-003 *  
  
0  
-0.0442  
-0.0854  
-0.1107  
-0.0953  
0.0000
```



>> **elementosfinitos(8)**

matriz\_sistema =

Columns 1 through 6

```
-18.0741  8.9815    0      0      0      0
 8.9815 -18.0741  8.9815    0      0      0
   0      8.9815 -18.0741  8.9815    0      0
   0      0      8.9815 -18.0741  8.9815    0
   0      0      0      8.9815 -18.0741  8.9815
   0      0      0      0      8.9815 -18.0741
   0      0      0      0      0      8.9815
   0      0      0      0      0      0
```

Columns 7 through 8

```
 0      0
 0      0
 0      0
 0      0
 0      0
 8.9815  0
-18.0741  8.9815
 8.9815 -18.0741
```

termino\_independiente =

```
0.0016
0.0057
0.0126
0.0222
0.0345
0.0496
0.0674
0.0880
```

coeficientes\_solucion =

-0.0082  
-0.0162  
-0.0239  
-0.0304  
-0.0349  
-0.0359  
-0.0319  
-0.0207

Nodo\_y\_Aproximacionsolucion =

0	0
0.1111	-0.0082
0.2222	-0.0162
0.3333	-0.0239
0.4444	-0.0304
0.5556	-0.0349
0.6667	-0.0359
0.7778	-0.0319
0.8889	-0.0207
1.0000	0

solu\_exacta =

$-\exp(-t)*(2*\exp(1)-3)/(\exp(-1)-\exp(1))+\exp(t)*(-3+2*\exp(-1))/(\exp(-1)-\exp(1))-2-t^2$

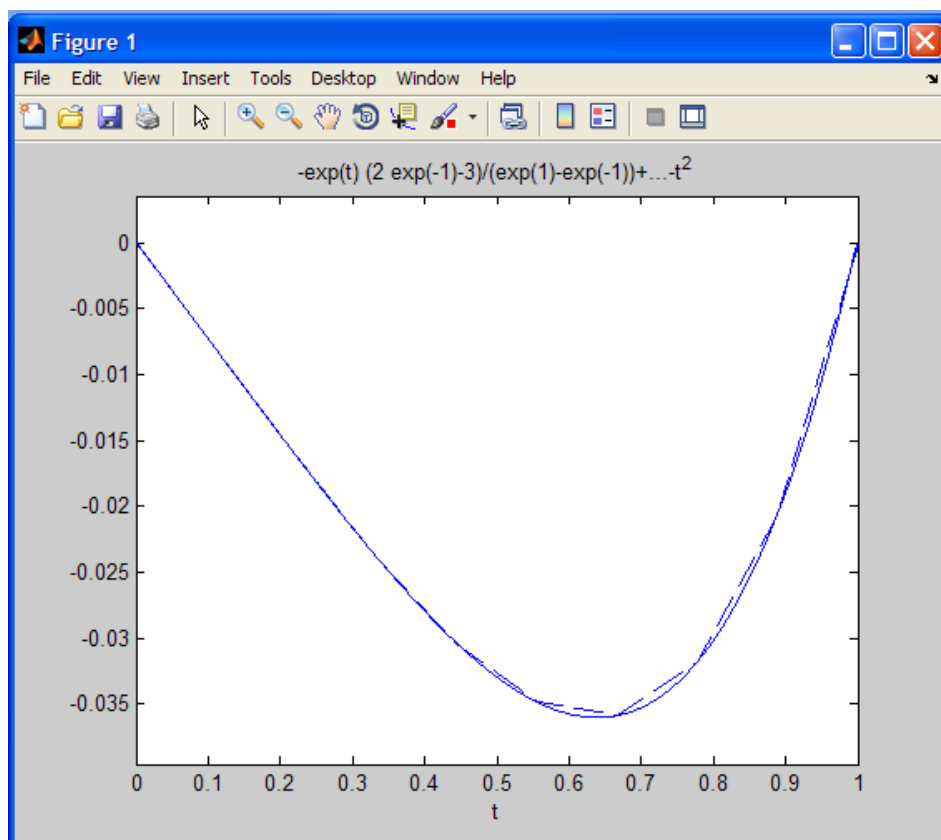
nodos =

0  
0.1111  
0.2222  
0.3333  
0.4444  
0.5556  
0.6667  
0.7778  
0.8889  
1.0000

```
error =
```

```
1.0e-004 *
```

```
0  
-0.0744  
-0.1487  
-0.2202  
-0.2830  
-0.3274  
-0.3407  
-0.3056  
-0.2008  
0.0000
```



>> *elementosfinitos(20)*

matriz\_sistema =

## Columns 1 through 6

### Columns 19 through 20

```
0      0
0      0
0      0
0      0
0      0
20.9921  0
-42.0317 20.9921
20.9921 -42.0317
```

termino\_independiente =

```
0.0001
0.0004
0.0010
0.0017
0.0027
0.0039
0.0053
0.0069
0.0088
0.0108
0.0131
0.0156
0.0183
0.0212
0.0243
0.0277
0.0312
0.0350
0.0390
0.0432
```

coeficientes\_solucion =

```
-0.0035
-0.0070
-0.0105
-0.0139
-0.0174
-0.0207
-0.0239
-0.0269
-0.0296
```

---

-0.0319  
-0.0339  
-0.0352  
-0.0360  
-0.0359  
-0.0349  
-0.0328  
-0.0295  
-0.0247  
-0.0184  
-0.0102

Nodo\_y\_Aproximacionsolucion =

0	0
0.0476	-0.0035
0.0952	-0.0070
0.1429	-0.0105
0.1905	-0.0139
0.2381	-0.0174
0.2857	-0.0207
0.3333	-0.0239
0.3810	-0.0269
0.4286	-0.0296
0.4762	-0.0319
0.5238	-0.0339
0.5714	-0.0352
0.6190	-0.0360
0.6667	-0.0359
0.7143	-0.0349
0.7619	-0.0328
0.8095	-0.0295
0.8571	-0.0247
0.9048	-0.0184
0.9524	-0.0102
1.0000	0

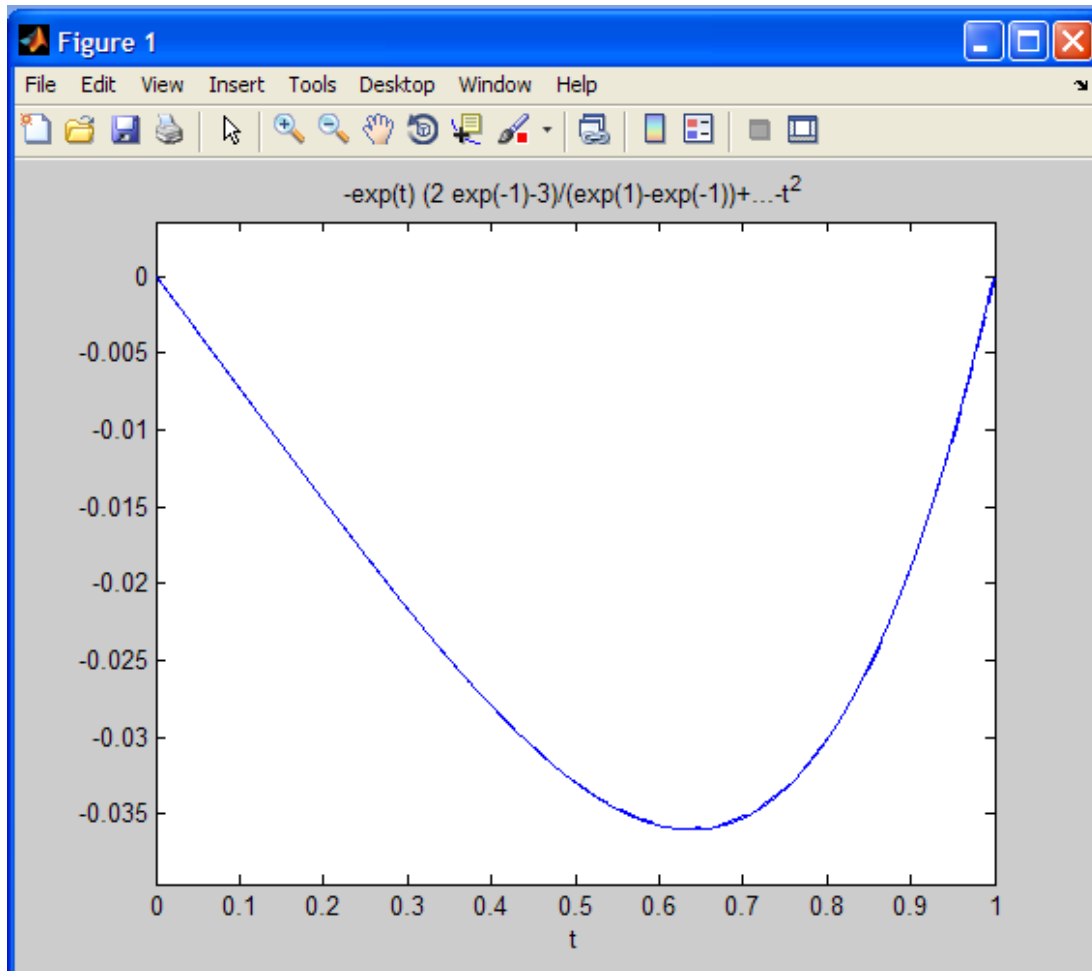
solu\_exacta =

$-\exp(t)*(-3+2*\exp(-1))/(exp(1)-\exp(-1))+\exp(-t)*(2*\exp(1)-3)/(exp(1)-\exp(-1))-2-t^2$

```
error =
```

```
1.0e-005 *
```

```
0  
-0.0580
```



[>> type elementosfinitos](#)

% Cambiando q por  $-t^2$  y r por  $\exp(t)$  en la función *elementosfinitos.m*; esto es,

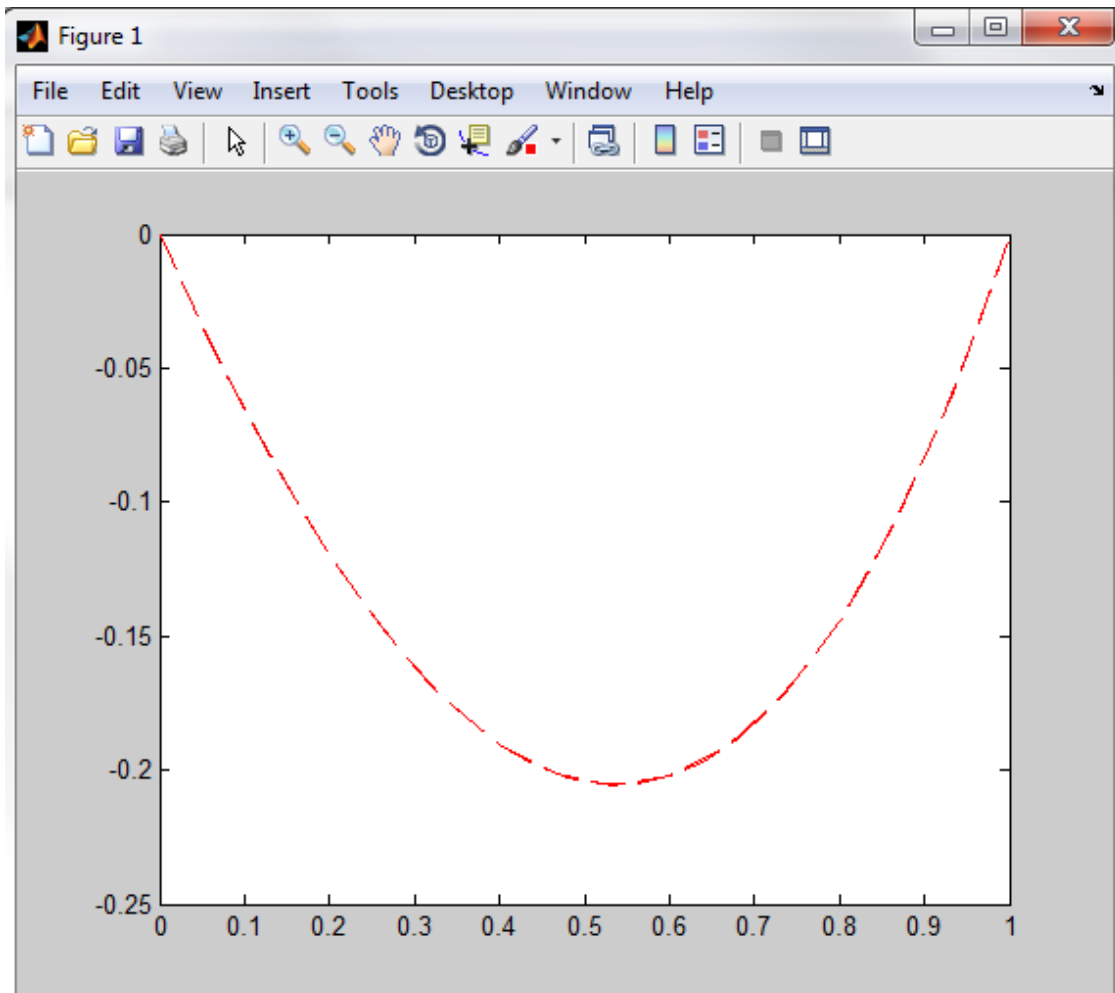
```
syms t; % variable simbólica
q=-1; % término que aparece multiplicando a y(x): y''+q(x)y=r(x)
r=t^2; % término independiente: y''+q(x)y=r(x)
```

% se cambia por

```
syms t; % variable simbólica
q=-t^2; % término que aparece multiplicando a y(x): y''+q(x)y=r(x)
r=exp(t); % término independiente: y''+q(x)y=r(x)
```

% y se aproxima la solución del problema de contorno planteado antes (con la función galerkin), en el que no se conoce la solución explícita, aunque se sabe que existe y es única:  $y'' - x^2y = \exp(x)$ ,  $x$  en  $(0,1)$ ,  $y(0)=0$ ,  $y(1)=0$ .

Se comparan las gráficas para distintos valores de  $h$ , abajo para  $n=24$  y  $n=14$  respectivamente, viendo que se aproximan bastante

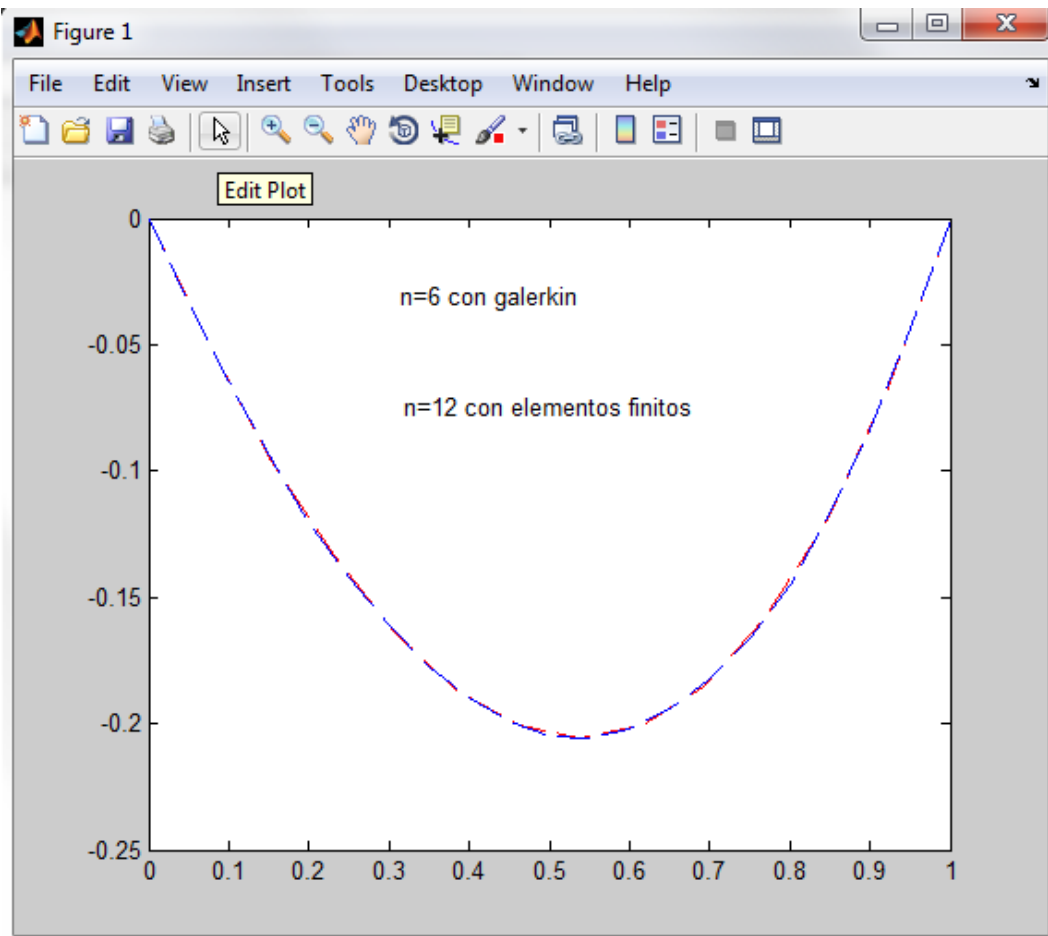


*% También observamos que la aproximación en los nodos que coinciden tampoco varía en las cuatro primeras cifras decimales (se observa variación a partir de la quinta cifra decimal, utilizando format long). Esto puede servir de test de parada*

nodos_y_aproximacion =
0 0
0.0400 -0.0274
0.0800 -0.0531
0.1200 -0.0770
0.1600 -0.0992
0.2000 -0.1195
0.2400 -0.1378
0.2800 -0.1541
0.3200 -0.1684
0.3600 -0.1804
0.4000 -0.1902
0.4400 -0.1976
0.4800 -0.2027
0.5200 -0.2052
0.5600 -0.2051
0.6000 -0.2023
0.6400 -0.1967
0.6800 -0.1882
0.7200 -0.1767
0.7600 -0.1621
0.8000 -0.1442
0.8400 -0.1228
0.8800 -0.0979
0.9200 -0.0693
0.9600 -0.0367
1.0000 0

0 0
0.0400 -0.0274
0.0800 -0.0531
0.1200 -0.0770
0.1600 -0.0992
0.2000 -0.1195
0.2400 -0.1378
0.2800 -0.1541
0.3200 -0.1684
0.3600 -0.1804
0.4000 -0.1902
0.4400 -0.1976
0.4800 -0.2027
0.5200 -0.2052
0.5600 -0.2051
0.6000 -0.2023
0.6400 -0.1967
0.6800 -0.1882
0.7200 -0.1767
0.7600 -0.1621
0.8000 -0.1442
0.8400 -0.1228
0.8800 -0.0979
0.9200 -0.0693
0.9600 -0.0367
1.0000 0

*% Abajo se comparan las gráficas con galerkin.m y elementosfinitos.m para n=6 y 12 respectivamente*



#### **% Ejercicios: Modificaciones de galerkin.m y elementosfinitos.m**

(ecuación  $(p(x)y')' + q(x)y = r(x)$ , condiciones de contorno no homogéneas, condiciones de contorno de tipo Neumann, problemas que no tienen solución única, etc.)

*% Ejercicio con la función p(x) distinta de 1*

$$\begin{cases} \left( \frac{e^{-(t+2)}}{(t+1)} y' \right)' + \frac{e^{-(t+2)}}{(t+1)^2} y = 1 & , \quad t \in (0, 1) \\ y(0) = 0 & , \quad y(1) = 0 \end{cases}$$

% Como consecuencia de hacer el cambio de x por t+2 se tiene

$$\begin{cases} \left( \frac{e^{-x}}{(x-1)} y' \right)' + \frac{e^{-x}}{(x-1)^2} y = 1 & , \quad x \in (2, 3) \\ y(2) = 0 & , \quad y(3) = 0 \end{cases}$$

% y que se resuelve con el comando dsolve despejando y''

```
>> v=dsolve('(t+1)*D2y-(t+2)*Dy+y=exp(t+2)*(t+1)^2','y(0)=0','y(1)=0');
```

```
>> pretty(v)
3 exp(3) (t + 2)           exp(t) (6 exp(2) - exp(3))   t exp(2) exp(t) (t + 4)
----- - exp(t + 2) (t + 2) - ----- + -----
2 (2 exp(1) - 3)           2 exp(1) - 3                   2
```

% La función galerking7.m nos aproxima a la solución. Tal y como se muestra abajo, los resultados dependen de la versión de Matlab. De manera general, si no se encuentran primitivas de las integrales, Matlab 2011 nos devuelve “Warning: Explicit integral could not be found” pero hace la aproximación numérica

```
>> galerking7(5) % con la versión de Matlab 2011
```

Warning: Explicit integral could not be found.

.....  
.....

matriz\_sistema =

```
-0.3138 -0.2267 -0.0921 -0.0863 -0.0499
-0.2267 -1.2429 -0.6364 -0.2191 -0.1884
-0.0921 -0.6364 -2.7906 -1.2475 -0.3927
-0.0863 -0.2191 -1.2475 -4.9572 -2.0616
-0.0499 -0.1884 -0.3927 -2.0616 -7.7427
```

termino\_independiente =

0.6366  
0  
0.2122  
0  
0.1273

coeficientes\_solucion =

-2.3578  
0.4917  
-0.1352  
0.0630  
-0.0231

solu\_aproximada =

$0.4917 \sin(6.283t) - 2.358 \sin(3.142t) - 0.1352 \sin(9.425t) + 0.06298 \sin(12.57t)$   
 $- 0.02313 \sin(15.71t)$

solu\_exacta =

$(3 \exp(3)(t+2))/(2(2\exp(1)-3)) - \exp(t+2)(t+2) - (\exp(t)(6\exp(2) - \exp(3)))/(2\exp(1)-3) + (t\exp(2)\exp(t)(t+4))/2$

coeficientes\_fourier =

-2.3609  
0.4934  
-0.1375  
0.0652  
-0.0308

errorfourier\_galerkin =

-0.0031  
0.0017  
-0.0022  
0.0022  
-0.0076

>> **galerking7(5) % con la versión de Matlab 2008**

matriz\_sistema =

```
-0.3138    -0.2267 - 0.0000i  -0.0921 - 0.0000i  -0.0863 - 0.0000i  -0.0499 - 0.0000i
-0.2267 + 0.0000i  -1.2429      -0.6364 - 0.0000i  -0.2191 + 0.0000i  -0.1884
-0.0921 - 0.0000i  -0.6364      -2.7906      -1.2475 + 0.0000i  -0.3927
-0.0863 + 0.0000i  -0.2191      -1.2475 + 0.0000i  -4.9572      -2.0616 + 0.0000i
-0.0499       -0.1884 + 0.0000i  -0.3927 - 0.0000i  -2.0616 + 0.0000i  -7.7427
```

termino\_independiente =

```
0.6366
0
0.2122
0
0.1273
```

coeficientes\_solucion =

```
-2.3578 + 0.0000i
0.4917 - 0.0000i
-0.1352 + 0.0000i
0.0630 - 0.0000i
-0.0231 + 0.0000i
```

solu\_aproximada =

```
(-2.358+.4438e-35*i)*sin(3.142*t)+(.4917-.4777e-35*i)*sin(6.284*t)+(-.1352+.1136e-
35*i)*sin(9.426*t)+(.6298e-1-.3237e-36*i)*sin(12.57*t)+(-.2313e-1+.1885e-
36*i)*sin(15.71*t)
```

solu\_exacta =

```
-1/2*(t+2)*(exp(1)*exp(2)-4*exp(3))/(-3+2*exp(1))+1/2*exp(t)*(-
8*exp(3)+3*exp(2))/(-3+2*exp(1))+1/2*exp(t+2)*(t+1)^2
```

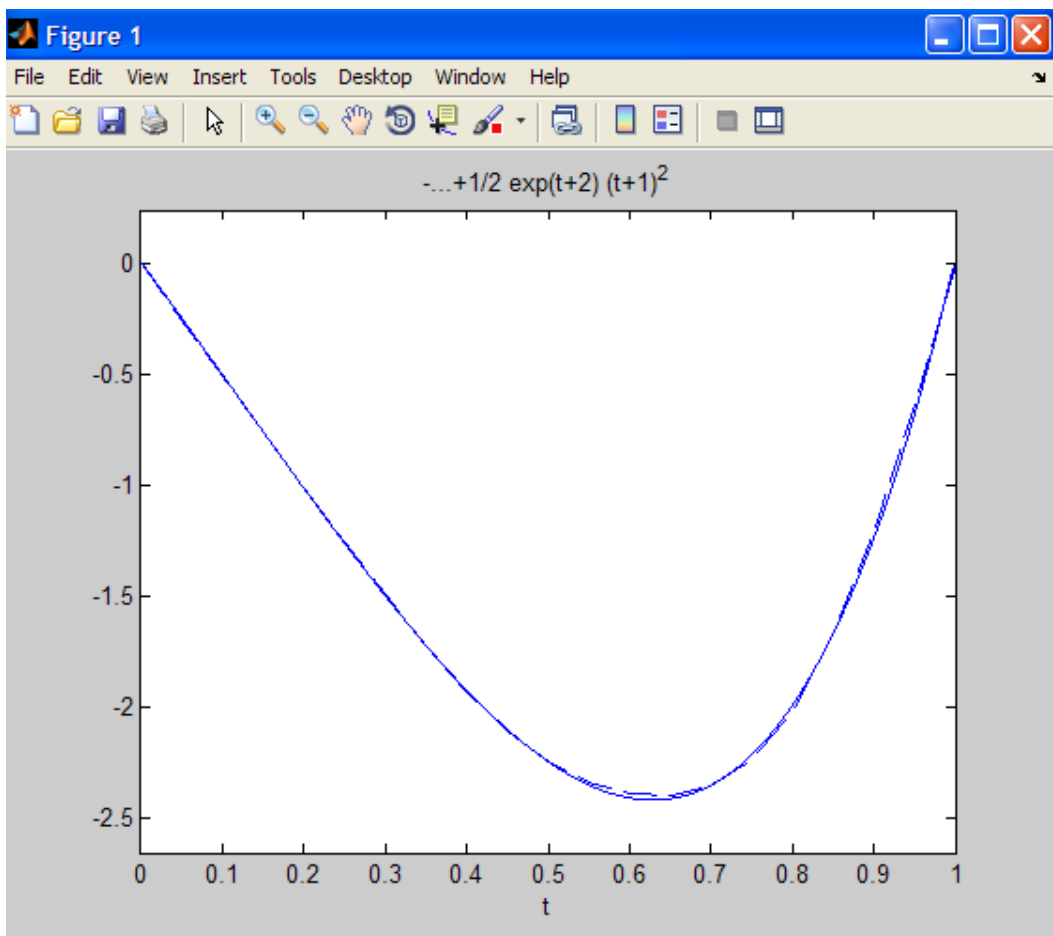
Warning: Imaginary parts of complex X and/or Y arguments ignored  
> In galerking7 at 72

coeficientes\_fourier =

```
-2.3609  
0.4934  
-0.1375  
0.0652  
-0.0308
```

errorfourier\_galerkin =

```
-0.0031 - 0.0000i  
0.0017 + 0.0000i  
-0.0022 - 0.0000i  
0.0022 + 0.0000i  
-0.0076 - 0.0000i
```



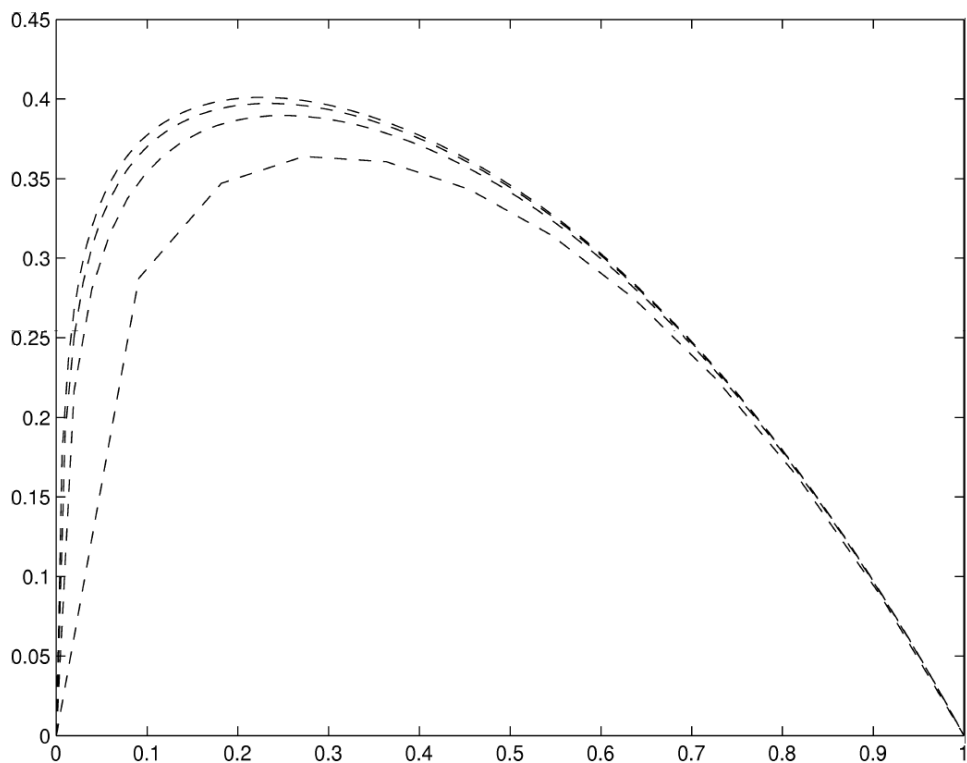
*% Se debe ignorar la parte imaginaria pues en formato largo nos da que esta parte imaginaria es 0, nos hace la gráfica de la solución exacta y la de la aproximada, y se ve como el error mejora a medida que aumenta el número de términos de la suma (n)*

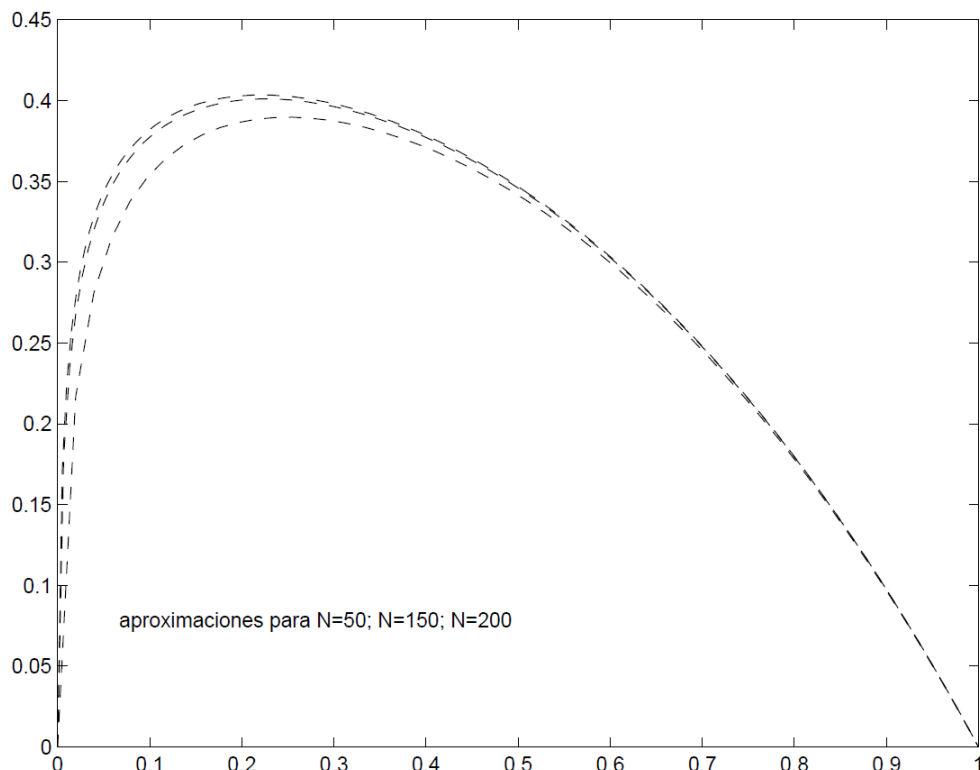
**>> type galerking7**

% En problemas con  $p(x)$  anulándose en  $x=0$  (por ejemplo), como pasa con

$$\begin{cases} -(xy')' + 2y = e^x & , \quad x \in (0, 1) \\ y(0) = 0 & , \quad y(1) = 0 \end{cases}$$

% Puede necesitarse  $n$  muy grande para tener una buena aproximación de la solución.  
Esto puede ser consecuencia del crecimiento rápido de la solución cerca del extremo  
en el que se anula  $p(x)$ . La gráfica de abajo para distintos valores de  $n$  muestra que se  
necesitan más de 200 elementos para tener una buena aproximación de la solución





**% Ejercicios** con solución explícita no conocida y con condiciones de contorno no necesariamente homogéneas

$$\begin{cases} y'' - x^3y = e^{x^2} & , \quad x \in (0, 1) \\ y(0) = 0 & , \quad y(1) = 0 \end{cases}$$

$$\begin{cases} y'' - x^3y = e^{x^2} & , \quad x \in (0, 1) \\ y(0) = 0 & , \quad y(1) = 1 \end{cases}$$

**% Para el primer problema se compraran soluciones con galerkin.m y con elementosfinitos.m. Se pide el h o el n de tal manera que el valor aproximado en un punto no cambie para n más grandes (h más pequeños).**

% Para el segundo problema, se pueden homogenizar las condiciones de contorno, restando a  $y(x)$  una función polinómica que verifique estas condiciones (solución particular de las condiciones de contorno), y luego sumar esta función.

>> **galerkinexg1(4)**

matriz\_sistema =

```
5.0218 -0.0743  0.0285 -0.0101
-0.0743 19.8547 -0.0844  0.0338
 0.0285 -0.0844 44.5340 -0.0873
 -0.0101  0.0338 -0.0873 79.0795
```

termino\_independiente =

```
-0.8800
 0.2296
 -0.3751
 0.1301
```

coeficientes\_solucion =

```
-0.1750
 0.0109
 -0.0083
 0.0016
```

solu\_aproximada =

```
-.1750*sin(3.142*t)+.1087e-1*sin(6.284*t)-.8287e-2*sin(9.426*t)+.1609e-
2*sin(12.57*t)
```

>> **elementosfinitosexg1(9)**

matriz\_sistema =

```
-20.0001  9.9999    0      0      0      0      0      0      0
  9.9999 -20.0006  9.9997    0      0      0      0      0      0
      0     9.9997 -20.0019  9.9993    0      0      0      0      0
      0      0     9.9993 -20.0043  9.9985    0      0      0      0
      0      0      0     9.9985 -20.0084  9.9972    0      0      0
      0      0      0      0     9.9972 -20.0145  9.9954    0      0
      0      0      0      0      0     9.9954 -20.0230  9.9929    0
      0      0      0      0      0      0     9.9929 -20.0343  9.9897
      0      0      0      0      0      0      0     9.9897 -20.0488
```

termino\_independiente =

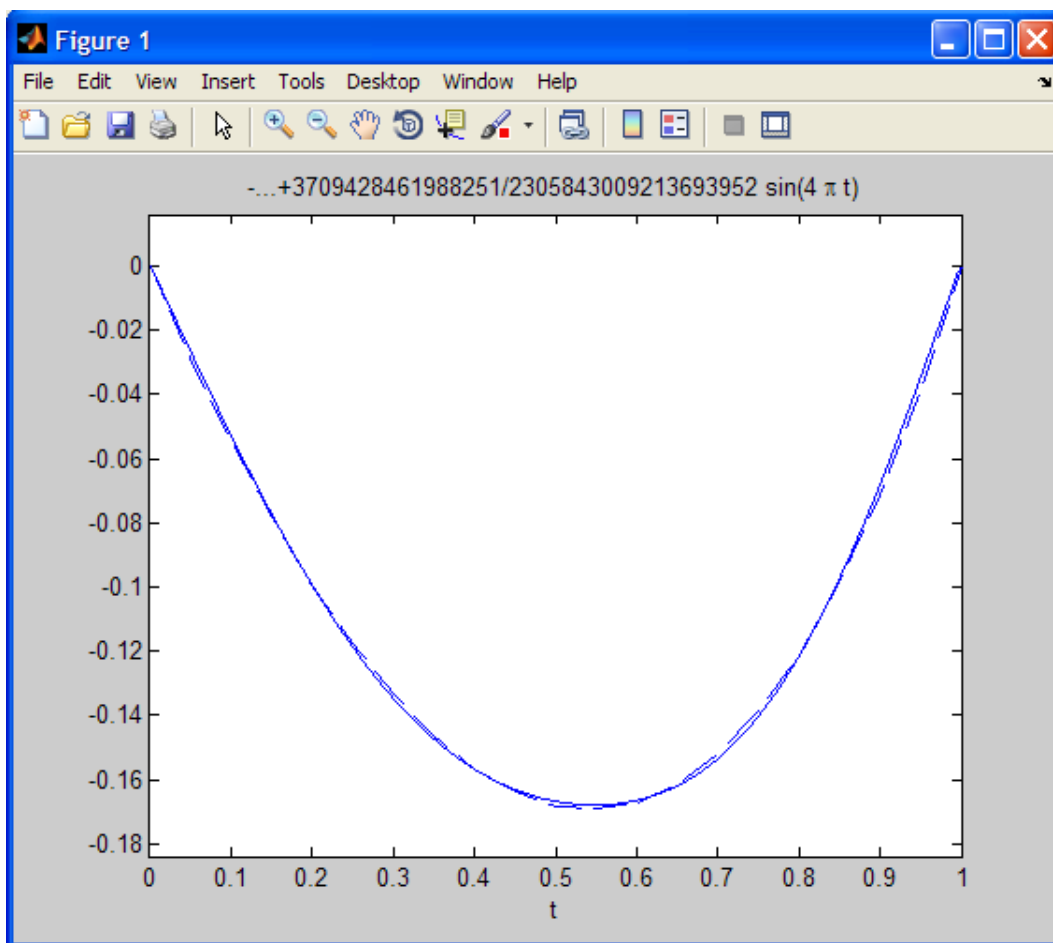
```
0.1012
0.1043
0.1096
0.1176
0.1287
0.1437
0.1638
0.1904
0.2258
```

coeficientes\_solucion =

```
-0.0547
-0.0992
-0.1334
-0.1566
-0.1682
-0.1671
-0.1519
-0.1210
-0.0715
```

Nodo\_y\_AproximacionSolucion =

0	0
0.1000	-0.0547
0.2000	-0.0992
0.3000	-0.1334
0.4000	-0.1566
0.5000	-0.1682
0.6000	-0.1671
0.7000	-0.1519
0.8000	-0.1210
0.9000	-0.0715
1.0000	0



*% Observación importante, para este ejemplo, para n más grandes, la versión 2011 de Matlab funciona bien, pero la versión 2008 da problemas: errores importantes por problemas de evaluación de las integrales a partir del coeficiente 6 o siete. Esto se comprueba si evaluamos*

```
>> syms t  
  
>> double(int(exp(t^2)*sin(9*pi*t),0,1))
```

ans =  
1.0000e+052

```
>> double(int(exp(t^2)*sin(5*pi*t),0,1))
```

ans =  
0.2322

*% mientras que con el comando quad (para integración numérica)*

```
>> quad('exp(t.^2).*sin(9*pi*t)',0,1)
```

ans =  
0.1307

```
>> quad('exp(t.^2).*sin(5*pi*t)',0,1)
```

ans =  
0.2322

*% sin embargo, la modificación con quad en el lazo que define el vector f*

```
for j=1:n  
    f(j)= quad('exp(t.^2).*sin(j*pi*t)',0,1)  
end
```

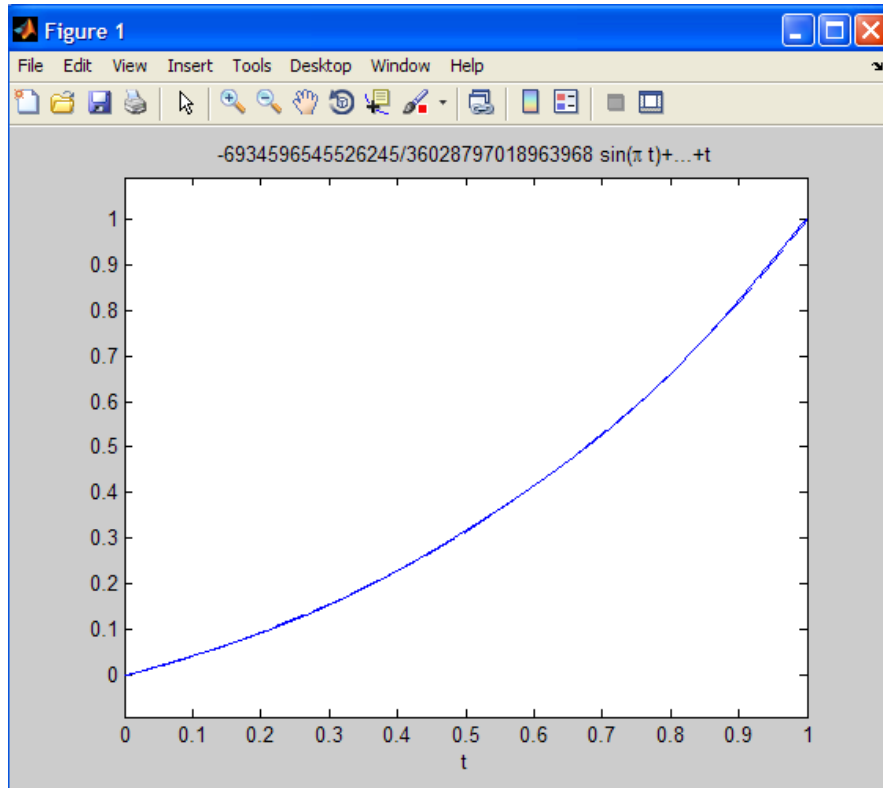
*tampoco funciona*

*% Para el problema no homogéneo, se hace lo mismo sumando la función up=t, es decir, se resuelve  
y''-t^3y=t^4+exp(t), y(0)=0, y(1)=0  
y luego se suma up. Abajo la comparación de las gráficas (EF en línea discontinua)*

```
>> elementosfinitosexg1nh(19);  
  
>> hold on
```

```
>> galerkinexg1nh(4);
```

```
>> hold off
```



[>> type elementosfinitosexq1](#)

[>> type elementosfinitosexq1nh](#)

[>> type galerkinexg1](#)

[>> type galerkinexg1nh\(n\)](#)

**% Ejercicio:** problema de contorno con una condición de tipo Neumann

$$\begin{cases} y'' - y = x^2 & , \quad x \in (0, 1) \\ y(0) = 0 & , \quad y'(1) = 0 \end{cases}$$

*% La modificación de elementosfinitos.m supone introducir una ecuación más para el mismo n. La modificación de galerkin.m puede suponer cambiar de base para obtener una mejor aproximación de la solución.*

>> **elemfiniejerneumann(6)**

nodos =

0  
0.14286  
0.28571  
0.42857  
0.57143  
0.71429  
0.85714

1

matriz\_sistema =

-14.095	6.9762	0	0	0	0	0
6.9762	-14.095	6.9762	0	0	0	0
0	6.9762	-14.095	6.9762	0	0	0
0	0	6.9762	-14.095	6.9762	0	0
0	0	0	6.9762	-14.095	6.9762	0
0	0	0	0	6.9762	-14.095	6.9762
0	0	0	0	0	6.9762	-7.0476

termino\_independiente =

0.0034  
0.0121  
0.0267  
0.0471  
0.0734  
0.1054  
0.0649

coeficientes\_solucion =

-0.0326  
-0.0653  
-0.0976  
-0.1281  
-0.1545  
-0.1735  
-0.1809

solu\_exacta =

$$(2*\exp(t)*(\exp(1) + 1))/(\exp(2) + 1) - t^2 - (2*(\exp(1) - \exp(2)))/(\exp(t)*(\exp(2) + 1)) - 2$$

solucionaproximadaennodos =

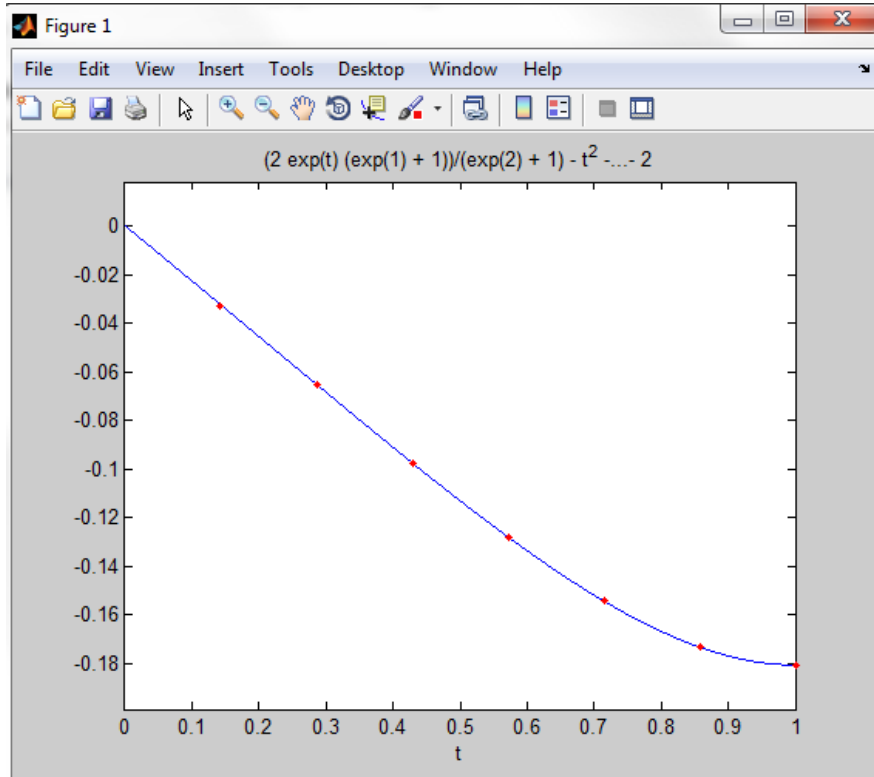
0  
-0.0326  
-0.0653  
-0.0976  
-0.1281  
-0.1545  
-0.1735  
-0.1809

solucionexactaennodos =

0  
-0.0325  
-0.0652  
-0.0975  
-0.1280  
-0.1543  
-0.1733  
-0.1807

error =

1.0e-003 \*  
  
0  
-0.0372  
-0.0753  
-0.1143  
-0.1523  
-0.1864  
-0.2117  
-0.2215



*% Los puntos rojos en la gráfica son los valores aproximados de la solución en los nodos; esto es lo que nos da la función elemfiniejerneumann.m*

*% Modificamos galerkin.m introduciendo una nueva base de funciones propias que verifiquen las condiciones de contorno del problema  $y(0)=0$ ,  $y'(1)=0$ ; con  $n=2$  se tiene*

```
>> galerkinnbc(2)
```

```
matriz_sistema =
```

```
1.7337      0
  0 11.6033
```

```
termino_independiente =
```

```
-0.2945
 0.1092
```

```
coeficientes_solucion =
```

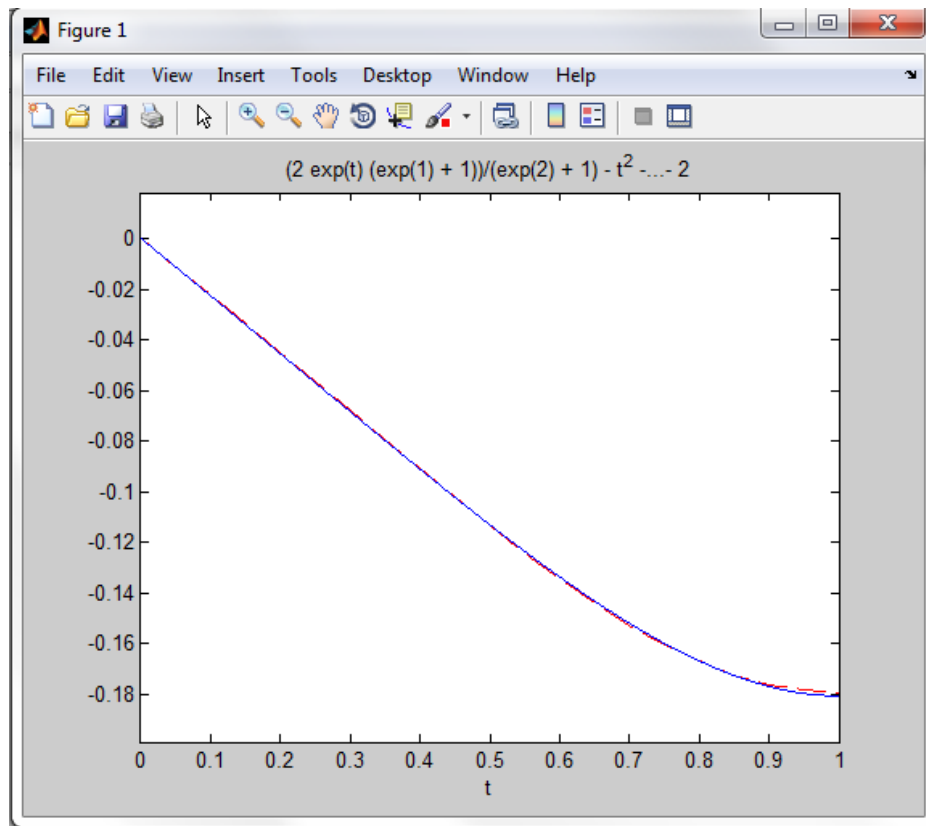
```
-0.1699
 0.0094
```

```
solu_aproximada =
```

$$0.009409 * \sin(4.712 * t) - 0.1699 * \sin(1.571 * t)$$

```
solu_exacta =
```

$$(2 * \exp(t) * (\exp(1) + 1)) / (\exp(2) + 1) - t^2 - (2 * (\exp(1) - \exp(2))) / (\exp(t) * (\exp(2) + 1)) - 2$$



% la gráfica en rojo es la aproximación de la solución con n=2 y galerkinnbc.m

[>> type elemfiniejerneumann](#)

[>> type galerkinnbc](#)

*% Terminamos el cuaderno con los ejercicios de las primeras páginas: ejercicios para los que no se tiene la existencia y unicidad de solución del problema de contorno:*

$$\begin{cases} y'' + \pi^2 y = x & , \quad x \in (0, 1) \\ y(0) = 0 & , \quad y(1) = 0 \end{cases}$$

$$\begin{cases} y'' + \pi^2 y = \sin(2\pi x) & , \quad x \in (0, 1) \\ y(0) = 0 & , \quad y(1) = 0 \end{cases}$$

*% El problema de contorno homogéneo asociado tiene solución no trivial. Se demuestra que el primer problema de contorno no tiene solución y Matlab lo detecta devolviendo "empty" (no la encuentra). El segundo problema tiene infinitas soluciones ( $\sin(\pi*t)*C2-1/3*\sin(2*\pi*t)/\pi^2$  con  $C2$  cualquier constante). Sin esta consideración previa, si intentamos aproximar la solución modificando los ficheros galerkin.m y elementosfinitos.m, se obtienen resultados muy dispares como se ve a continuación.*

*% Para el primer problema galerkin.m (convenientemente modificado) no nos puede dar ninguna solución: la matriz A es singular y como se ve abajo nos da un valor muy grande (que no es fiable) para c(1)*

matriz\_sistema =

Columns 1 through 8

```
0.0000  0    0    0    0    0    0    0
0  14.8044  0    0    0    0    0    0
0    0  39.4784  0    0    0    0    0
0    0    0  74.0220  0    0    0    0
0    0    0    0  118.4353  0    0    0
0    0    0    0    0  172.7181  0    0
0    0    0    0    0    0  236.8705  0
0    0    0    0    0    0    0  310.8925
0    0    0    0    0    0    0    0
0    0    0    0    0    0    0    0
```

Columns 9 through 10

```
0    0
0    0
0    0
0    0
0    0
0    0
0    0
0    0
0    0
394.7842  0
0  488.5454
```

Warning: Matrix is close to singular or badly scaled.

Results may be inaccurate. RCOND = 6.412194e-019.

> In galerking8\_9\_nounibis at 46

termino\_independiente =

```
-0.31831
0.15915
-0.1061
0.079577
-0.063662
0.053052
-0.045473
0.039789
-0.035368
0.031831
```

coeficientes\_solucion =

```
-1.0161e+015
0.010751
-0.0026876
0.0010751
-0.00053753
0.00030716
-0.00019197
0.00012798
-8.9588e-005
6.5155e-005
```

*% Para el segundo problema, con la misma matriz singular, galerkin.m sí encuentra solución (debido a que f(1) es también cero, y además, se puede resolver el resto del sistema dividiendo por los elementos de la diagonal principal). La solución que encuentra para aproximar, en este caso, es una de las encontradas explícitamente con C2=0*

```
>> v=dsolve('D2y+pi^2*y=sin(2*pi*t)', 'y(0)=0', 'y(1)=0')
```

v =

$$\sin(\pi t) * C2 - 1/3 * \sin(2\pi t) / \pi^2$$

*% galerking.m, convenientemente modificada, para n=10, nos devuelve*

matriz\_sistema =

Columns 1 through 8

$$\begin{matrix} 0.0000 & 0 & 0 & 0 & 0 & 0 & 0 & 0 \\ 0 & 14.8044 & 0 & 0 & 0 & 0 & 0 & 0 \\ 0 & 0 & 39.4784 & 0 & 0 & 0 & 0 & 0 \\ 0 & 0 & 0 & 74.0220 & 0 & 0 & 0 & 0 \\ 0 & 0 & 0 & 0 & 118.4353 & 0 & 0 & 0 \\ 0 & 0 & 0 & 0 & 0 & 172.7181 & 0 & 0 \\ 0 & 0 & 0 & 0 & 0 & 0 & 236.8705 & 0 \\ 0 & 0 & 0 & 0 & 0 & 0 & 0 & 310.8925 \\ 0 & 0 & 0 & 0 & 0 & 0 & 0 & 0 \\ 0 & 0 & 0 & 0 & 0 & 0 & 0 & 0 \end{matrix}$$

Columns 9 through 10

$$\begin{matrix} 0 & 0 \\ 0 & 0 \\ 0 & 0 \\ 0 & 0 \\ 0 & 0 \\ 0 & 0 \\ 0 & 0 \\ 0 & 0 \\ 394.7842 & 0 \\ 0 & 488.5454 \end{matrix}$$

```
termino_independiente =
```

```
0  
-0.5000  
0  
0  
0  
0  
0  
0  
0  
0  
0  
0  
0  
0
```

Warning: Matrix is close to singular or badly scaled.

Results may be inaccurate. RCOND = 6.412194e-019.

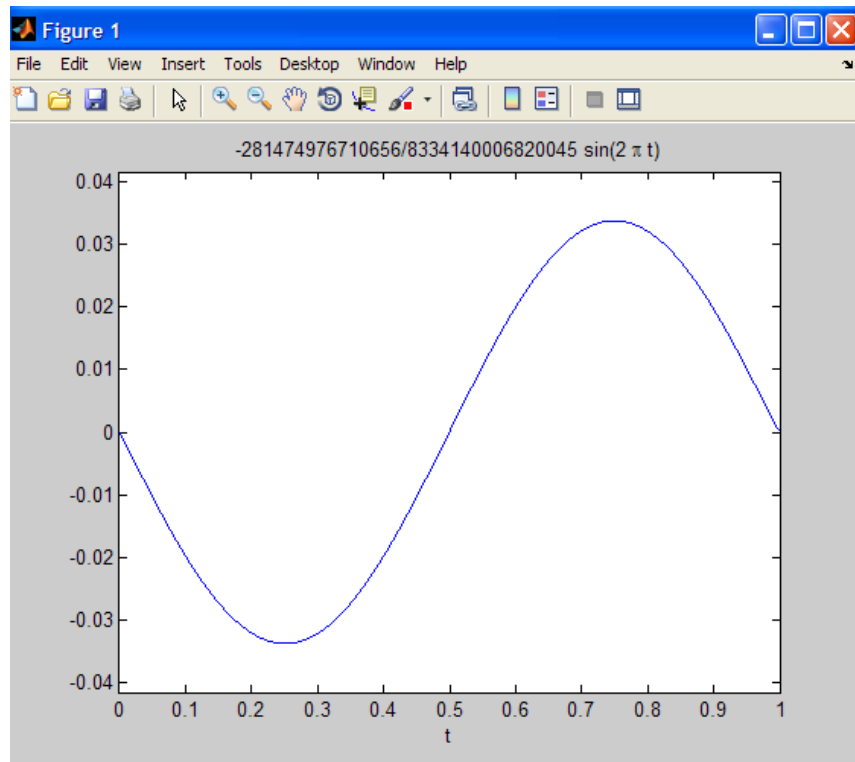
> In galerking8\_9\_nounibis at 46

```
coeficientes_solucion =
```

```
0  
-0.0338  
0  
0  
0  
0  
0  
0  
0  
0  
0  
0  
0  
0
```

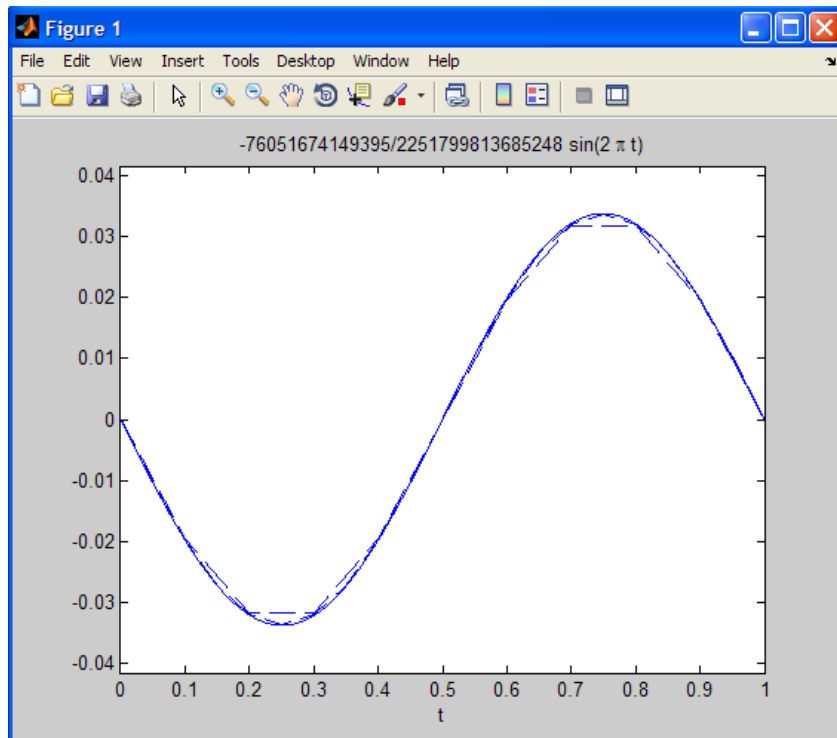
```
solu_aproximada =
```

```
-.3377e-1*sin(6.284*t)
```



% que es la gráfica de la función  $-1/3 \sin(2\pi t)/\pi^2$

% La función elementofinitos.m, convenientemente modificada, también encuentra  
aproximación a esta solución: para  $h=1/10$ ,  $h=1/20$   $h=1/30$  nos proporciona las  
aproximaciones en la gráfica de abajo



*% Para el problema sin solución Matlab lo advierte:*

```
>> v=dsolve('D2y+pi^2*y=t','y(0)=0','y(1)=0')
```

Warning: Explicit solution could not be found.

> In dsolve at 333

v =

[ empty sym ]

*% galerkin.m no da solución como se ha indicado antes (mejor dicho, nos da una solución que no es fiable con el primer coeficiente de la aproximación del orden de 10^{15})*

solu\_aproximada =

```
-.1016e16*sin(3.142*t)+.1075e-1*sin(6.284*t)-.2688e-2*sin(9.426*t)+.1075e-
2*sin(12.57*t)-.5375e-3*sin(15.71*t)+.3072e-3*sin(18.85*t)-.1920e-
3*sin(21.99*t)+.1280e-3*sin(25.14*t)-.8959e-4*sin(28.28*t)
```

*% la función elementosfinitos.m, modificada convenientemente, nos da soluciones que no se van aproximando a ninguna, como se ve en la gráfica la relativa a h=1/10, h=1/20, h=1/30, h=1/40*

